

МИНИСТЕРСТВО ВЫСШЕГО И СРЕДНЕГО
СПЕЦИАЛЬНОГО ОБРАЗОВАНИЯ БССР

БРЕСТСКИЙ ИНЖЕНЕРНО-СТРОИТЕЛЬНЫЙ
ИНСТИТУТ

КАФЕДРА СТРОИТЕЛЬНЫХ КОНСТРУКЦИЙ

Бремекев В.И.
Рочняк Ю.А.

МЕТОДИЧЕСКИЕ УКАЗАНИЯ

К ВЫПОЛНЕНИЮ ПЕРВОГО КУРСОВОГО
ПРОЕКТА ПО ЖЕЛЕЗОБЕТОННЫМ КОНСТРУКЦИЯМ

ПРИЛОЖЕНИЕ 1

БРЕСТ 1973 год

МИНИСТЕРСТВО ВЫСШЕГО И СРЕДНЕГО СПЕЦИАЛЬНОГО
ОБРАЗОВАНИЯ В С С Р

Брестский инженерно-строительный институт

Кафедра строительных конструкций

М Е Т О Д И Ч Е С К И Е У К А З А Н И Я

по выполнению первого курсового проекта по курсу
"Железобетонные конструкции" для студентов
специальности 1202 - промышленное и гражданское
строительство - вечерней и заочной формы обучения.

(ПРИЛОЖЕНИЕ I)

Ст. преподаватель
Бремеса Б.И.
Лицен, к.т.н. Рочник О.А.

Брест

1972

О Г Л А В Л Е Н И Е

с т р .

Т а б л . I	Проектные марки бетона для предварительно напряженных железобетонных конструкций и временное сопротивление бетона сжатия (кубовая прочность) при его обратки.....	4
Т а б л . 2.	Расчетные сопротивления бетона при расчете конструкций на прочность и по образованию или раскрытию трещин	5
Т а б л . 3	Виды арматурных сталей	6-7
Т а б л . 4	Расчетные сопротивления арматуры при расчете на прочность	8
Т а б л . 5	Расчетные сопротивления высокопрочной арматурной проволоки, арматурных прядей и канатов (тросов) при расчете на прочность	9-10
Т а б л . 6	Сортамент горячекатанных арматурных стержней	11
Т а б л . 7	Сортамент арматурной проволоки	12
Т а б л . 8	Максимальные значения высоты сжатой зоны при расчете изгибаемых элементов	13
Т а б л . 9	Значения коэффициентов α ; γ_0 ; γ_1 ; μ_0 для подбора сечений изгибаемых и внецентренно сжатых элементов	13
Т а б л . 10	Сортамент сварных сеток по ГОСТ 8478-66	14
Т а б л . II	Расчетные площади сечения стержней и теоретический вес 1 пог.м сварных сеток	15-16

Т а б л. 12	Диаметры стержней и расстояния между ними в сварных каркасах	17-18
Т а б л. 13	Оптимальные параметры электронагрева арматуры	19.
Т а б л. 14	Определение невыгоднейшего расположения временной нагрузки	20-23
Т а б л. 15	Изгибающие моменты, поперечные силы и опорные реакции в равнопролетных неразрезных балках, загруженных равномерно распределенной нагрузкой	24-28
Т а б л. 16	Изгибающие моменты, поперечные силы и опорные реакции в равнопролетных неразрезных балках	29-33
Т а б л. 17	Равномерно распределенная нагрузка эквивалентная по опорному моменту различным нагрузкам	40-41
Т а б л. 18	Значения коэффициента γ' для определения момента сопротивления сечения ..	42
Т а б л. 19	Предельные прогибы железобетонных элементов	43
Т а б л. 20	Значения коэффициентов ψ_d для расчета предварительно напряженных железобетонных элементов по деформациям и раскрытию трещин.	43
Т а б л. 21	Значения коэффициентов ψ и M_d для расчета центрально сжатых железобетонных элементов	43

Т а б л. 22	Значения коэффициента β для определения ординат отрицательных моментов: $M = \beta(g+p)l^2$ при расчете второстепенных балок монолитного ребристого перекрытия.....	45-47
Т а б л. 23	Коэффициенты M_y для максимальных пролетных моментов в неразрезных плитах и балках, загруженных равномерной нагрузкой при заданных спорных моментах	48
Т а б л. 24	Спецификация арматуры	49
Т а б л. 25	Расход арматуры и бетона	49
Т а б л. 26	Некоторые типы полов и их вес	50

ТАБЛАНЦА 4.

Проектные марки бетона для предварительно напряженных железобетонных конструкций и временные сопротивление бетона сжатию (кубовая прочность) при его обжатии.

ВИД КОНСТРУКЦИИ, БЕТОНА И АРМИРОВАНИЯ	ПРОЕКТНАЯ МАРКА БЕТОНА, НЕ НИЖЕ	КУБИКОВАЯ ПРОЧНОСТЬ БЕТОНА ПРИ ЕГО ОБЖАТИИ R _b , кг/см ² , НЕ НИЖЕ
1. Конструкции из тяжелого бетона проволочного армированья в виде:		
а) высокопрочной гладкой арматурной проволоки (класса В-В) с анкерами;	300	200
б) высокопрочной арматурной проволокой периодического профиля (класса Ви-Н) без анкеров при диаметре проволоки до 5 мм;	300	200
в) то же, при диаметре 6 мм и более 400	400	300
2) витон из двух гладких высокопрочных проволок диаметром до 3 мм без анкеров;	400	250
д) арматурных прутов класса А-7 без анкеров при диаметре прутов до 5 мм;	400	250
2. Конструкции из тяжелого напряженного бетона со стержневой арматурой периодического профиля без анкеров диаметром от 10 до 16 мм (включительно) классов:		
а) А-Н, А-Нв и А-Ннв	200	140
б) А-IV и Ат-IV	200	140
в) А-V и Ат-V	300	200
г) Ат-VI	400	300
от 20 мм и более классов:		
д) А-Нв и А-Ннв	300	200
е) А-IV и Ат-IV	300	200
ж) А-V и Ат-V	400	300
з) Ат-VI	500	350

Приложение 2.

**РАСЧЕТНЫЕ СОПРОТИВЛЕНИЯ БЕТОНА ПРИ РАСЧЕТЕ
КОНСТРУКЦИЙ НА ПРОЧНОСТЬ И ПО ОБРАЗОВАНИЮ
ИЛИ РАСКРЫТИЮ ТРЕЩИН**

вид напряженного состояния	Обозначение расчетного сопротивления	Конструкции	расчетные сопротивления бетона, кг/см ² , при проектной марке бетона по проч- ности на сжатие									
			35	50	75	100	150	200	300	400	500	
			Проектная марка бетона по прочности на растяжение									
Сжатие осевое (применяется при прочности)	R _s	Железобетонные бетонные	14	20	30	44	68	80	130	170	200	230
		бетонные	12.5	18	27	40	60	70	115	—	—	—
Сжатие при изгибе	R _b	Железобетонные бетонные	27.5	35	57	55	80	100	100	210	250	280
		бетонные	16	22	35	50	70	90	140	—	—	—
Растяжение осевое	R _r	Железобетонные бетонные	2.5	3.7	3.6	4.6	5.8	7.2	10.5	12.5	14	15
Растяжение при расчете по образованию трещин, расщепление при расчете по раскрытию трещин	R _t	Железобетонные предварительно натянутые на растяжение Железобетонные	3.2	3.8	5	8.8	8	10	14.5	17.5	19.5	21

Примечания: 1. Для отдельных малых монолитных железобетонных сооружений при общем объеме бетона до 10 м³ значения расчетных сопротивлений бетона должны приниматься как для бетонных конструкций.

2. Для легких бетонов проектной марки 250 значения расчетных сопротивлений определяются интерполяцией.

3. При необходимости проверки расчетов конструкций, в которых прочность бетона не достигла проектной марки (например, в момент раскрытия трещин), значения расчетных сопротивлений бетона следует определять с учетом фактической прочности бетона путем интерполяции.

Приложение 3.

ВИДЫ АРМАТУРНЫХ СТАЛЕЙ			
Наименование и класс арматурной стали	ГОСУДАРСТВЕННЫЕ СТАНДАРТЫ И ТЕХНИЧЕСКИЕ УСЛОВИЯ	УСЛОВНОЕ ОБОЗНАЧЕНИЕ	ПРИМЕР ОБОЗНАЧЕНИЯ
Сталь горячекатаная круглая гладкая диаметром 6-40мм класса А-І	ГОСТ 5481-63	АІ	2Ф20 АІ
Сталь горячекатаная периодического профиля диаметром 10-30мм класса А-ІІ	--II--	АІІ	2Ф20 АІІ
Тоже, диаметром 6-10мм класса А-ІІІ	--ІІІ--	АІІІ	2Ф20 А-ІІІ
То же, диаметром 10-32мм класса А-ІV	--ІV--	АІV	2Ф20 АІV
Упрочненная выплавкой арматурная сталь с контролем напряжений и удлинений или с контролем только удлинений диаметром 10-40мм класса А-ІІІв	--	АІІІв	2Ф20 АІІІв
То же, диаметром 6-40мм класса А-ІІІв	--	АІІІв	2Ф20 АІІІв
Термически упрочненная арматурная сталь периодического профиля диаметром 10-25мм класса АІ-ІІ	ГОСТ 10884-64	АІ IV	2Ф20 АІ IV
Тоже, класса АІ-І	--I--	АІ I	2Ф20 АІ I
То же, класса АІ-ІІ	--ІІ--	АІІ	2Ф20 АІІ
Холоднотянутая обыкновенная арматурная проволока гладкая диаметром 3-8мм класса В-І	ГОСТ 6722-55	ВІ	2Ф8 ВІ
Высокопрочная арматурная проволока гладкая диаметром 3-8мм класса В-ІІ	ГОСТ 7348-63	ВІІ	2Ф6 ВІІ
Тоже, периодического профиля диаметром 3-8мм класса Вр-ІІ	ГОСТ 8480-63	ВрІІ	2Ф6 ВрІІ
Арматурные самопроволочные пряди класса П-І,	ЧМТУ/ЦНИИЧМ 426-61	ПІ	2Ф6 ПІ
Двухпредные канаты, изготавляемые из настенной светлой проволоки по ГОСТ 1312-66 класса К2x7	ЧМТУ/ЦНИИЧМ 258-60	К2x7	2Ф6 К2x7
Тоже, класса П2x19	--II--	К2x19	2Ф16 К2x19

Приложение 3 (продолжение)

НАИМЕНОВАНИЕ И КЛАСС АРМАТУРНОЙ СТАЛИ	ГОСУДАРСТВЕННЫЕ СТАНДАРТИ И ТЕХНИЧЕСКИЕ УСЛОВИЯ	УСЛОВИЕ ОБОЗНАЧЕНИЯ	ПРИМЕР ОБОЗНАЧЕНИЯ
Многонитевые канаты (тросы) без органического сердечника, изготавляемые из канатной светлой проволоки по ГОСТ 7372-66 класса K7x3	ГОСТ 3086-66	K7-T	2Ф12 K7-T
То же, класса K7x19	ГОСТ 3086-66	K7x19	2Ф24 K7x19
То же, класса K7x37	ГОСТ 3086-66	K7x37	2Ф34 K7x37

Примечание. Для арматурной стали, упрочненной вытяжкой, класса А-II в величина контролируемых напряжений принимается $4500 \text{ кг}/\text{см}^2$, класса А-III - $5500 \text{ кг}/\text{см}^2$.

величина контролируемых удлинений принимается равной (в проц.): 5,5 - для стали класса А-II; 5,5 - класса А-III марки 25Г2С; 4,5 - класса А-III марки 35ГС.

Приложение 4.

Расчетные сопротивления арматуры при расчете на прочность

ВИД АРМАТУРЫ	Расчетные сопротивления арматуры, кг/см ²		
	распрямленной простой и неперечиной и отожженной при расче- те на пол- ную изгибопрочную си- лutton сечения K _{a,s}	стальной K _{a,s}	стальной K _{a,s}
1. Сталь горячекатаная прутовая (гладкая) класса I-I, а также волосовая, угловая и фасонная группы марок Ст. 3	2100	1700	2100
2. Сталь горячекатаная периодического профиля класса I-II	2700	2170	2700
3. Там же, класса I-II	3400	2700	3400
4. То же, класса I-IV	5100	4100	5600
5. Сталь, упрочненная вытяжкой, класса I-II: с контролем напряжений и удлинений с контролем только удлинений без контроля напряжений	3700	3000	2700
	5270	2600	2700
6. Сталь, упрочненная вытяжкой, класса I-II: с контролем напряжений и удлинений с контролем только удлинений без контроля напряжений	4900	3600	3400
	4000	3200	3400
7. Термически упрочненная арматур- ная сталь периодического профиля класса I-I-IV	5100	4100	5600
8. То же, класса I-I-V	6400	5100	3600
9. То же, класса I-I-VI	7600	6100	3600
10. Продолгота арматурная обыкновен- ная класса В-1 (при применении в сварных сетках и каркасах) диаметром:			
3 - 3,5 мм	3150	2200	3150
6 - 8 мм	2500	1790	2500

Приложение 5.

Расчетные сопротивления высокопрочной арматурной проволоки, арматурных прядей и канатов (тросов) при расчете на прочность

Вид арматуры	диаметр проволоки, мм	Расчетное сопротивление в арматуре, кг/см ²		
		растянутой продольной; параллельной отогнутой при расчете изгибом по наклонному сечению R _g	растянутой поперечной при расчете на изгиб по поперечному сечению R _{a.c}	сжатой R _{a.c}
1. Проволока высоко-прочная круглая по ГОСТ 7340-63	3	12200	9700	
	4	11500	9200	
	5	10200	8600	
	6	10200	8100	
	7	9600	7600	
	8	8900	7500	
2. Проволока высоко-прочная периодическо-го профиля по ГОСТ 8480-65	3	11500	9200	для всех видов арматуры: при нали- чии сцепления арма- туры с бетоном
	4	10300	8600	R _{a.c} = 3600; при отсутствии сце- пления арматуры с
	5	10200	8100	
	6	9600	7600	
	7	8900	7100	
	8	8300	6700	
3. Сети проволочные арматурные пря-ди по ЧМТУ/ЦНИИЧИМ 426-61	1,5	12200	9700	бетоном R _{a.c} = 0
	2	11500	9200	
	2,5	11500	9200	
	3	10800	8600	
	4	10200	8100	
	5	9600	7600	
4. Стальные много-прядные канаты(тросы) по ГОСТ 3066-66	1 - 3	9500	7600	
по ГОСТ 3067-66	1 - 3	9000	7200	
по ГОСТ 3068-66	1 - 3	8700	7000	

ПРИЛОЖЕНИЕ 5. (продолжение)

Примечания: 1. Расчетные сопротивления стальных канатов (тросов), приведенные в таблице, соответствуют значениям нормативных сопротивлений (наименьших временных сопротивлений) проволок в канатах 190 кг/мм², при применении в канатах проволок с другими значениями наименьших временных сопротивлений расчетные сопротивления канатов должны быть соответственно изменены.

2. Для высокопрочной проволоки, прядей и канатов, отгибаемых на угол больше 30° вокруг штыря, диаметром менее 3d, расчетное сопротивление растянутой отогнутой арматуры в местах перегиба при расчете на изгиб по неподвижному сечению R_a следует принимать таким же, как при расчете на поперечную силу, т. е. равным R_{ax} ; при этом ослабление перегибом учитывается на участках длиной по 3d в каждую сторону от перегиба (где d - диаметр проволоки, пряди или каната).

Приложение 6.

Сортамент горячекатаных арматурных стержней

номинальный диаметр, мм	площадь поперечного сечения, см ² , при числе стержней									вес 1 м, кг	напускаемые диаметры для стальей классов			
	1	2	3	4	5	6	7	8	9		A-I	B-II	C-III	D-IV
6	0.283	0.57	0.85	1.13	1.42	1.70	1.98	2.25	2.55	0.222	+	+		
7	0.385	0.74	1.15	1.54	1.92	2.31	2.69	3.08	3.46	0.302	+	+		
8	0.503	1.01	1.51	2.01	2.51	3.02	3.52	4.02	4.53	0.595	+	+		
9	0.625	1.27	1.91	2.54	3.15	3.82	4.47	5.09	5.72	0.890	+	+		
10	0.785	1.57	2.36	3.14	3.93	4.71	5.50	6.28	7.07	1.017	+	+	+	
12	1.131	2.26	3.39	4.58	5.67	6.79	7.92	9.05	10.18	1.888	+	+	+	
14	1.539	3.08	4.68	6.16	7.69	9.23	10.77	12.31	13.85	2.208	+	+	+	
16	2.011	4.02	6.03	8.01	10.05	12.06	14.07	16.08	18.10	2.578	+	+	+	
18	2.549	5.09	7.63	10.18	12.72	15.87	17.81	20.30	22.90	3.098	+	+	+	
20	3.142	6.28	9.41	12.96	15.71	18.65	21.99	25.14	28.23	3.466	+	+	+	
22	3.801	7.60	11.40	15.20	19.00	22.81	26.61	30.41	34.23	3.984	+	+	+	
25	4.909	9.82	14.73	19.03	24.54	29.47	34.36	39.27	44.18	4.853	+	+	+	
28	6.198	12.32	18.47	24.63	30.79	36.99	43.10	49.26	55.42	4.834	+	+	+	
32	8.042	16.08	24.15	32.17	40.21	48.25	56.30	64.34	72.33	6.315	+	+	+	
36	10.179	20.36	30.54	40.72	50.90	61.07	71.25	81.43	91.61	7.900	+	+	+	
40	12.566	25.13	37.70	50.26	62.83	75.40	87.96	100.53	113.09	9.865	+	+	+	
45	15.904	31.81	47.71	63.62	79.52	95.42	111.33	127.23	143.13	12.49	+			
50	19.635	39.27	56.91	73.56	93.18	117.81	137.49	157.08	176.72	15.41	+			
55	23.76	47.52	71.28	97.04	118.80	142.56	166.39	190.08	213.71	18.69	+			
60	28.87	56.54	84.84	113.08	141.37	169.62	197.89	226.10	254.18	22.19	+			
70	36.48	76.96	115.44	153.92	192.40	230.88	269.36	307.84	346.32	30.81	+			
80	50.27	100.55	150.81	201.08	251.35	301.62	351.90	402.16	452.43	39.46	+			
90	63.62	127.24	190.86	254.48	318.10	381.72	449.36	508.9	572.58	49.94	+			

ПРИМЕЧАНИЕ. Стержни арматурной горячекатаной стали

диаметром менее 10мм поставляются в мотках, диаметром 10мм и более - в прутках длиной 6-12 м или мерной длины, оговориваемой в заказах.

ПРИЛОЖЕНИЕ 7.

СОРТАМЕНТ АРМАТУРНОЙ ПРОВОЛОКИ

Номинальный диаметр, мм	Площадь поперечного сечения, см ² , при числе стержней									вес 1 м, кг	выпускаемые диаметры		
	1	2	3	4	5	6	7	8	9		диаметр - шарнирно- подвижной и высокопро- тивоударной арматурной проводки	диаметр - шарнирно- подвижной и высокопро- тивоударной арматурной проводки	
3.0	0.074	0.14	0.21	0.28	0.35	0.42	0.49	0.57	0.64	0.095	+	+	
3.5	0.105	0.19	0.29	0.38	0.48	0.58	0.68	0.77	0.86	0.125	+	+	
4.0	0.126	0.25	0.38	0.50	0.63	0.76	0.88	1.01	1.13	0.198	+	+	
4.5	0.159	0.32	0.48	0.64	0.80	0.95	1.11	1.27	1.43	0.225	+	+	
5.0	0.196	0.39	0.59	0.79	0.98	1.18	1.37	1.57	1.77	0.254	+	+	
5.5	0.238	0.48	0.71	0.95	1.19	1.43	1.66	1.90	2.14	0.288	+	+	
6.0	0.285	0.57	0.85	1.13	1.42	1.70	1.98	2.26	2.55	0.322	+	+	
7.0	0.385	0.77	1.15	1.54	1.92	2.31	2.69	3.08	3.46	0.302	+	+	
8.0	0.503	1.01	1.51	2.01	2.52	3.02	3.52	4.02	4.53	0.395	+	+	

Примечание. Арматурная проволока поставляется в мотках

ПРИЛОЖЕНИЕ 8

d	γ	J_0									
0.01	0.995	0.01	0.15	0.925	0.139	0.29	0.855	0.248	0.45	0.785	0.337
0.02	0.99	0.02	0.16	0.92	0.147	0.30	0.85	0.255	0.44	0.78	0.343
0.03	0.985	0.03	0.17	0.915	0.155	0.31	0.845	0.262	0.45	0.775	0.349
0.04	0.98	0.039	0.18	0.91	0.164	0.32	0.84	0.269	0.46	0.77	0.354
0.05	0.975	0.049	0.19	0.905	0.172	0.33	0.835	0.275	0.47	0.765	0.359
0.06	0.97	0.058	0.20	0.90	0.180	0.34	0.83	0.282	0.48	0.76	0.365
0.07	0.965	0.067	0.21	0.895	0.188	0.35	0.825	0.289	0.49	0.755	0.370
0.08	0.96	0.077	0.22	0.89	0.196	0.36	0.82	0.295	0.50	0.75	0.375
0.09	0.955	0.085	0.23	0.885	0.203	0.37	0.815	0.301	0.51	0.745	0.380
0.10	0.95	0.095	0.24	0.88	0.211	0.38	0.81	0.309	0.52	0.74	0.385
0.11	0.945	0.104	0.25	0.875	0.219	0.39	0.805	0.314	0.53	0.735	0.390
0.12	0.94	0.113	0.26	0.87	0.226	0.40	0.80	0.320	0.54	0.73	0.394
0.13	0.935	0.121	0.27	0.865	0.234	0.41	0.795	0.326	0.55	0.724	0.400
0.14	0.93	0.130	0.28	0.86	0.241	0.42	0.79	0.332			

ПРИЛОЖЕНИЕ 10.

СОРТАМЕНТ СВАРНЫХ СЕТОК [по ГОСТ 8478 - 66]

Марка сетки	Расстояние по осям между стержнями:		Диаметр стержня, мм		Ширина сетки по осям крайних стержней в, мм
	продоль- ными t ₁	попереч- ными t ₂	продоль- ного d ₁	попереч- ного d ₂	
200/250/3/3	200	250	3	3	
150/250/3/3	150	250	3	3	900; 1100; 1400;
200/250/4/3	200	250	4	3	1500; 1700; 2300;
150/250/4/3	150	250	4	3	2500; 2700; 2900
200/250/5/4	200	250	5	4	
150/250/6/4	150	250	6	4	
100/250/6/4	100	250	6	4	900; 1100; 1500; 2300
150/250/9/5	150	250	9	5	2500; 2700; 2900
100/250/9/5	100	250	9	5	
250/200/3/4	250	200	5	4	
250/150/3/4	250	150	5	4	900; 1100; 1500;
250/150/4/5	250	150	4	5	1700; 2300;
250/200/4/8	250	200	4	8	2900; 3500
250/150/5/9	250	150	5	9	
200/200/3/3	200	200	3	3	
150/150/5/3	150	150	3	3	
100/100/5/2	100	100	3	3	1100; 1300; 1400;
200/200/5/5	200	200	5	5	1500; 1700; 2500;
100/100/5/5	100	100	5	5	2500; 2700; 2900; 3500
150/150/7/7	150	150	7	7	
100/100/7/7	100	100	7	7	
200/200/8/8	200	200	8	8	
200/200/9/9	200	200	9	9	
150/150/9/9	150	150	9	9	2300; 2500
100/100/8/8	100	100	8	8	
100/100/9/9	100	100	9	9	

Приложение 4.

Расчетные площади сечения стержней и
теоретический вес 1 кг/м сварных сеток

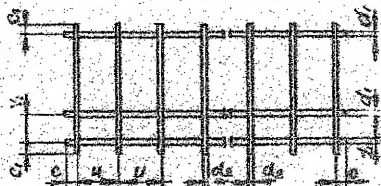
марка сетки	Ширина сетки, мм										расчетная площадь сечения попереч- ных стерж- ней См ² на 1 кг/м
	900	1100	1300	1400	1500	1700	2300	2500	2700	2900	
280/250/3/3	0.43 0.54	0.50 0.64	—	0.57 0.76	0.64 0.84	0.71 0.84	0.92 1.24	0.89 1.08	1.07 1.44	1.14 1.54	—
150/250/3/3	0.50 0.60	0.57 0.70	—	0.71 0.87	0.76 0.85	0.85 1.05	1.14 1.41	1.28 1.36	1.35 1.96	1.42 1.46	—
200/250/4/3	0.76 0.80	0.88 0.94	—	1.01 1.11	1.13 1.22	1.26 1.37	1.64 1.81	1.76 1.94	1.89 2.09	2.02 2.23	—
150/250/4/3	0.88 0.89	1.01 1.04	—	1.20 1.30	1.39 1.43	1.51 1.57	2.02 2.10	2.27 2.34	2.39 2.48	2.52 2.62	—
200/250/5/4	1.18 1.50	1.37 1.52	—	1.37 1.50	1.76 1.89	1.96 2.22	2.56 2.92	2.74 3.15	2.94 3.58	3.14 3.62	—
150/250/6/4	1.98 1.92	2.26 2.22	—	—	3.11 3.05	—	4.53 4.47	5.09 4.99	5.35 5.30	5.68 5.66	—
100/250/6/4	2.83 2.59	3.49 3.42	—	—	4.53 4.19	—	8.29 8.13	3.36 6.72	8.82 8.29	8.49 7.82	—
150/250/9/5	4.45 4.02	5.09 4.60	—	—	8.00 6.24	—	10.48 9.43	11.45 10.54	12.98 11.46	12.8 11.78	—
100/250/9/5	6.36 5.87	8.63 6.88	—	—	10.18 8.95	—	15.26 14.42	16.54 14.54	18.81 15.86	19.06 16.78	—
250/200/3/4	0.36 0.75	0.43 0.90	0.43 1.00	—	—	0.57 1.31	0.68 1.44	—	—	0.93 2.83	1.14 2.65
250/150/3/4	0.36 0.90	0.43 1.09	0.43 1.22	—	—	0.57 1.59	0.76 2.16	—	—	0.99 2.72	1.14 2.25
250/150/4/5	0.63 1.46	0.76 1.77	0.76 1.98	—	—	1.01 2.58	1.39 3.50	—	—	1.76 4.40	2.02 5.25
250/200/4/8	0.63 0.36	0.76 2.85	0.76 3.25	—	—	1.01 4.25	1.39 5.72	—	—	1.76 4.20	2.02 2.85
250/150/3/9	0.98 3.90	1.18 4.82	1.18 5.39	—	—	1.57 2.03	2.16 2.48	—	—	2.74 11.94	3.14 14.25
200/200/5/3	—	0.50 0.71	0.57 0.82	0.64 0.86	0.71 0.93	0.92 1.05	0.98 1.50	1.07 1.43	1.14 1.62	1.15 1.75	1.35 2.06

Приложение 11 (продолжение)

Марка сетки	Ширина сетки, мм											расчетная площадь сечения поперечных стержней см^2 в 1 пог. м
	800	1100	1300	1400	1500	1700	1800	2500	2700	2900	3500	
150/150/3/3	0.57 0.87	0.71 1.05	0.71 1.08	0.76 1.16	0.85 1.31	1.14 1.76	1.28 1.94	1.35 2.07	1.42 2.20	1.70 2.64	—	0.47
100/100/6/3	0.85 1.30	0.99 1.52	1.07 1.64	1.14 1.75	1.28 1.98	1.70 2.64	1.85 2.83	1.99 3.09	2.15 3.31	2.56 3.98	—	0.71
200/200/5/5	1.37 1.95	1.57 2.26	1.57 2.34	1.76 2.57	1.96 2.88	2.55 3.80	2.74 4.11	2.94 4.42	3.14 4.73	3.72 5.64	—	0.98
100/100/5/5	2.35 3.60	2.74 4.22	2.94 4.52	3.14 4.84	3.55 4.25	4.70 6.29	5.10 7.91	5.49 8.53	5.80 8.14	7.06 10.99	—	1.96
150/150/7/2	3.08 4.72	3.85 5.32	3.85 5.93	4.24 6.44	4.62 6.14	6.10 9.55	6.93 10.57	7.32 11.24	7.70 11.98	9.24 14.40	—	2.57
100/100/7/7	4.62 4.07	5.39 5.28	5.78 6.89	6.16 9.49	6.93 10.70	9.24 14.33	10.04 15.54	10.78 16.74	11.55 17.35	13.86 21.58	—	3.85
200/200/8/8	—	—	—	—	—	—	6.54 9.77	7.04 10.55	—	—	—	2.52
150/150/9/9	—	—	—	—	—	—	10.18 15.78	14.45 17.44	—	—	—	4.24
200/200/9/9	—	—	—	—	—	—	8.27 12.33	8.90 13.33	—	—	—	3.18
100/100/8/8	—	—	—	—	—	—	12.07 16.71	15.08 20.50	—	—	—	5.03
100/100/9/9	—	—	—	—	—	—	15.26 23.56	16.54 23.36	—	—	—	6.36

Примечание. В числителе дроби приведена расчетная площадь сечения всех продольных стержней в см^2 , в знаменателе — теоретический вес 1 пог. м сетки в кг.

Приложение 12.



**ДИАМЕТРЫ СТЕРЖНЕЙ И РАССТОЯНИЯ
МЕЖДУ НИМИ В СВАРНЫХ КАРКАСАХ (мм)**

Диаметры стержней рабочей арматуры каркасов d_1		6-7	8-9	10	12	14	16	18	20	22	25	28	32	36	40
Минимальные допускаемые диаметры стержней при отсутствии попечечной арматуры	d_2	3.5	4	4.5	5	5	6	6	6	8	8	10	12	12	14
		6	6	8	8	8	8	8	8	10	10	12	12	14	16
Тоже, вместо стыков каркасов встыкость без сварки при рабочей арматуре каркасов из слабых стержней		3.5	4	4.5	5	6	8	8	10	10	12	14	16	18	22
		3.5	4	4.5	5	6	8	10	12	14	16	18	20	22	25

ПРИЛОЖЕНИЕ 12 (продолжение)

Диаметры стержней рабочей арматуры каркасов d_1	6-7	8-9	10	12	14	16	18	20	22	25	28	32	36	40
Минимальное допускаемое расстояние между осями поперечных стержней каркасов S_{min}	50	75	75	100	100	100	100	100	100	150	150	150	200	200
То же, при двухстороннем расположении рабочей арматуры	75	75	100	100	150	150	200	200	250	250	300	300	400	400
То же, максимальное S_{max}	250	300	300	300	300	300	400	400	400	—	—	—	—	—
Минимальные допускаемые расстояния между осями продольных стержней каркасов при двухрядном расположении S_1	30	30	30	40	40	40	40	50	50	50	60	60	80	90
не нормируется														

- Примечания:
1. Расстояния от конца стержней каркасов одного направления до оси стержня другого направления С и С₁ принимать не менее диаметра большего стержня, а не менее 10 мм.
 2. Расстояния между поперечными стержнями каркасов должны назначаться на основании расчетных, конструктивных и монтажных соображений в пределах, определяемых настоящей таблицей.

ТАБЛИЦА 13.

ОПТИМАЛЬНЫЕ ПАРАМЕТРЫ ЭЛЕКТРОНГРЕВА АРМАТУРЫ.

Наименование марки стали	Температура нагрева в град.		Наименьшее время нагрева в сек.	Наименьшее уширение при максимальном нагревании в %
	Рекомендуемая	Максимальная		
Сталь марки 30ХГ2С	400	300	—	3,6
Стали марок 25Г2С и 35ГС, упрочненные вязьюкои	350	400	—	4,5
Сталь марки Ст. 5, упрочненная вязьюкои	300	400	—	4,5
Приволока стальной холоднотянутая высококоррозийная периодического профилей ГОСТ 8480-57 и круглая ГОСТ 7348-55:				
ф 3 мм	—	300	20	3,3
ф 4 мм	—	350	20	4
ф 5 мм	—	400	20	4,5
Серпинковоющие стальные пряди				
ф 4,5 мм	—	300	20	3,3
ф 6 мм	—	400	20	4,5

Пояснения к таблице № 14

Таблица № 14 методического пособия служит для определения невыгоднейшего расположения временных нагрузок. При расчёте многопролётных неразрезных балок нет необходимости рассматривать все возможные варианты загружения временной нагрузкой, рассматриваются лишь сочетания, приведённые в таблице № 14. Остальные случаи загружения не дают экстремальных значений для построения сгибающей эпюры М. Временная нагрузка в табл. 14 условно изображена жирной сплошной линией.

Пояснения к таблице № 15

В таблице № 15 приведены численные значения коэффициентов для вычисления ординатгибающей эпюры M и Q для неразрезных равнопролётных балок загруженных равномерно распределённой нагрузкой, при числе пролётов от двух до пяти. При расчёте их по упругой стадии значения ординат эпюры M и Q могут быть вычислены через 0,1 пролёта. Кроме того, под таблицами приведены формулы для вычисления опорных реакций. Балки с пролётами отличающимися не более чем на 20% могут рассматриваться как равнопролётные. Если расчёт ведётся с учётом перераспределения усилий из-за пластических деформаций, то значения моментов, найденные по упругой стадии не используются непосредственно для подбора сечений, а подвергаются выравниванию в соответствии с рекомендациями (см. методическое пособие по вычислению первого курсового проекта Часть I, Раздел III.1 и III.2). Подбор сечений в этом случае производится по выровненным моментам.

Пояснения к таблице № 16

В таблице № 16 содержатся данные для определения максимальных и минимальных моментов на опорах и в третих пролётах. Таблица позволяет также определить максимальные и минимальные поперечные силы и опорные реакции. Таблица 16 более универсальна чем таблица 15, т.к. она даёт возможность определить значения указанных выше величин на только при равномерно распределённой нагрузке, но и при других симметричных загружениях, приведённых в первой строке. Всё остальные данные, приведённые в пояснения к таблице 15 остаются и к таблице 16.

Обозначения сечений и внутренних сил, принятые в табли-

це. 16 приведены на рис. I

A	1	2	3	4	5	6	7	8	9	10	11	12
	1	2	3	4	5	6	7	8	9	10	11	12
	Изгиб.	Миним.	Макс.	2 пролёт.	3 пролёт.	2 пролёт.						
M ₁	M ₁₁	M ₁₂	M ₁₃	M ₂₁	M ₂₂	M ₂₃	M ₃₁	M ₃₂	M ₃₃	M ₄₁	M ₄₂	M ₄₃
Q ₁	Q ₁₁	Q ₁₂	Q ₁₃	Q ₂₁	Q ₂₂	Q ₂₃	Q ₃₁	Q ₃₂	Q ₃₃	Q ₄₁	Q ₄₂	Q ₄₃

Рис. I Обозначение сечений и внутренних усилий

Индекс m_{\max} , указанный в таблице, обозначает наибольший по абсолютной величине положительный момент или наименьший по абсолютной величине отрицательный момент. Индекс m_{\min} обозначает наибольший по величине отрицательный момент или наименьший положительный момент. Аналогично для Q .

Пояснения к таблице № 17

В таблице I7 приведены значения равномерно распределённой нагрузки \bar{q}_3 , эквивалентной по опорному моменту различным нагрузкам, приведённым в первой графе указанной таблицы.

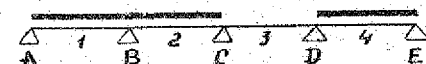
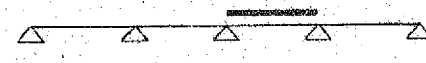
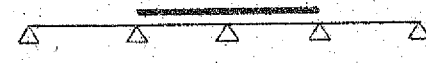
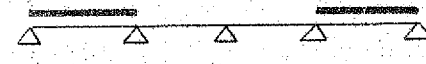
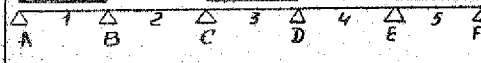
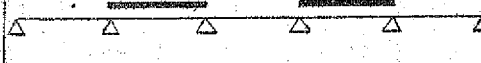
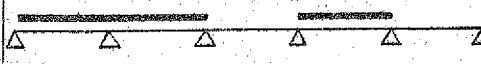
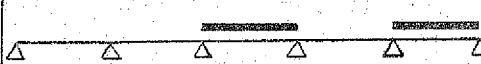
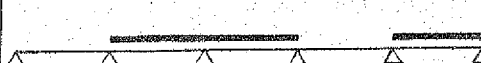
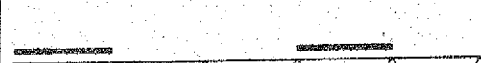
Определив эквивалентные нагрузки \bar{q}_3 можно с помощью таблицы I5 или I6 найти опорные моменты. Использовать эквивалентные нагрузки \bar{q}_3 для вычисления пролётных моментов ни в коем случае нельзя.

Они должны определяться вычислением от фактической нагрузки. После определения опорных моментов от \bar{q}_3 пролётные могут быть также найдены с помощью таблицы 26.

ТАБЛИЦА 14.

КОЛ-ВО ПРО-ЛЕТОВ.	СХЕМА НАГРУЖЕНИЯ	УСИЛИЯ	
		max	min
ДВА		B	$M_B; Q_{1B}$
		$M_1, Q_{1A}=A$	
		$M_1, Q_{1A}=A$	
ТРИ		$M_1, Q_{1A}=A$	M_2
		M_2	$M_1, Q_{1A}=A$
		B, Q_{2B}	M_B, Q_{1B}
		M_B, Q_{1B}	Q_{2B}
ЧЕТЫРЕ		$M_1, Q_{1A}=A$	M_2
		M_2	$M_1, Q_{1A}=A$

ПРОДОЛЖЕНИЕ ТАБЛ.14.

КОЛ-ВО ПРОЛЕТОВ	СХЕМА НАГРУЖЕНИЯ	УСИЛИЯ	
		max	min
ЧЕТЫРЕ		B, Q_{2B}	M_B, Q_{1B}
		M_B, Q_{1B}	B, Q_{2B}
		C	M_C, Q_{2C}
		M_C, Q_{2C}	C
		M_A, M_B, Q_A	M_E
		M_2	M_A, M_B, Q_A
Пять		B, Q_{2B}	M_B, Q_{1B}
		M_B, Q_{1B}	B, Q_{2B}
		C, Q_{3C}	M_C, Q_{2C}
		M_C, Q_{2C}, Q_A	C

ИЗГИБАЮЩИЕ МОМЕНТЫ, ПОПЕРЕЧНЫЕ СИЛЫ
И ОПОРНЫЕ РЕАКЦИИ В РАВНОПРОЛЕТНЫХ НЕРАЗРЕЗ-
НЫХ БАЛКАХ, ЗАГРУЖЕННЫХ РАВНОМЕРНО РАСПРЕДЕЛЕННОЙ НАГРУЗКОЙ.

ТАБЛИЦА 45.

ДВА ПРОЛЕТА

x/l	ИЗГИБАЮЩИЕ МОМЕНТЫ				ПОПЕРЕЧНЫЕ СИЛЫ			
	ВЛИЯНИЕ g		ВЛИЯНИЕ p		ВЛИЯНИЕ g		ВЛИЯНИЕ p	
	max (+)	min (-)		max (+)	min (-)		max (+)	min (-)
0,0	0	0	0	0	+0,375	0,4375	0,0625	
0,1	+0,0325	0,0387	0,0062	0,1	+0,275	0,3437	0,0687	
0,2	+0,0550	0,0675	0,0125	0,2	+0,175	0,2624	0,0874	
0,3	+0,0675	0,0862	0,0187	0,3	+0,075	0,1932	0,1182	
0,4	+0,0700	0,0950	0,0250	0,4	-0,025	0,1359	0,1609	
0,5	+0,0625	0,0937	0,0312	0,5	-0,125	0,0898	0,2148	
0,6	+0,0450	0,0825	0,0375	0,6	-0,225	0,0544	0,2794	
0,7	+0,0175	0,0612	0,0437	0,7	-0,325	0,0287	0,3537	
0,8	-0,0200	0,0300	0,0500	0,8	-0,425	0,0119	0,4369	
0,85	-0,0425	0,0152	0,0577	0,9	-0,525	0,0027	0,5277	
0,9	-0,0675	0,0061	0,0736	1,0	-0,625	0	0,6250	
0,95	-0,0950	0,0014	0,0964	Множи- тель:		gl	pl	pl
1,0	-0,1250	0	0,1250	Множи- тель:		pl	pl	pl
	gl ²	pl ²	pl ²	ОПОРНЫЕ РЕАКЦИИ				
				$A_{max} = 0,3750 gl + 0,4375 pl$				
				$B_{max} = 1,25 (g + p) l$				

ПРОДОЛЖЕНИЕ ТАБЛ. 15.

ТРИ ПРОЛЕТА

x/l	ИЗГИБАЮЩИЕ МОМЕНТЫ			x/l	ПОПЕРЕЧНЫЕ СИЛЫ		
	ВЛИЯНИЕ g	ВЛИЯНИЕ Р $\max(+) \min(-)$	ВЛИЯНИЕ g		ВЛИЯНИЕ g	ВЛИЯНИЕ Р $\max(+) \min(-)$	ВЛИЯНИЕ Р $\max(+) \min(-)$
0,1	+0,035	0,040	0,005	0	+0,4	0,4500	0,0500
0,2	+0,060	0,070	0,010	0,1	+0,3	0,356	0,0563
0,3	+0,075	0,090	0,015	0,2	+0,2	0,2752	0,0752
0,4	+0,080	0,100	0,020	0,3	+0,1	0,2065	0,1065
0,5	+0,075	0,100	0,025	0,4	0	0,1496	0,1496
0,6	+0,060	0,090	0,030	0,5	-0,1	0,1046	0,2042
0,7	+0,035	0,070	0,035	0,6	-0,2	0,0694	0,2694
0,8	0	0,0402	0,0402	0,7	-0,3	0,0443	0,3443
0,85	-0,0212	0,0277	0,0490	0,8	-0,4	0,0280	0,4280
0,9	-0,0450	0,0204	0,0654	0,9	-0,5	0,0193	0,5191
0,95	-0,0712	0,0171	0,0883	1,0	-0,6	0,0167	0,6167
1,00	-0,1000	0,0167	0,1167	1,0	+0,5	0,5833	0,0833
1,05	-0,0762	0,0141	0,0903	1,1	+0,4	0,4870	0,0870
1,1	-0,0550	0,0151	0,0701	1,2	+0,3	0,3991	0,0991
1,15	-0,0362	0,0205	0,0568	1,3	+0,2	0,3210	0,1210
1,2	-0,0200	0,030	0,050	1,4	+0,1	0,2537	0,1537
1,3	+0,005	0,055	0,050	1,5	0,0	0,1979	0,1979
1,4	+0,020	0,070	0,050	Множи тель $g \cdot l^2$			$p \cdot l$
1,5	+0,025	0,075	0,050	ОПОРНЫЕ РЕАКЦИИ			
Множи тель	$g \cdot l^2$	$p \cdot l^2$	$p \cdot l^2$	$A_{\max} = 0,40g \cdot l + 0,45p \cdot l$ $B_{\max} = 1,1g \cdot l + 1,2p \cdot l$			

ПРОДОЛЖЕНИЕ ТАБЛ. 15.

ЧЕТЫРЕ ПРИЛЕТА

x/l	ИЗГИБАЮЩИЕ МОМЕНТЫ			x/l	ПОПЕРЕЧНЫЕ СИЛЫ		
	Влияние g	Влияние r	$\max (+)$		Влияние g	Влияние r	$\max (+)$
0,1	+0,0343	0,0396	0,0054	0,0	+0,3929	0,4464	0,0535
0,2	+0,0586	0,0693	0,0107	0,1	+0,2929	0,3528	0,0599
0,3	+0,0729	0,0889	0,0161	0,2	+0,1929	0,2717	0,0788
0,4	+0,0771	0,0986	0,0214	0,3	+0,0929	0,2029	0,1101
0,5	+0,0714	0,0982	0,0268	0,4	-0,0071	0,1461	0,1563
0,6	+0,0557	0,0879	0,0321	0,5	-0,1071	0,1007	0,2079
0,7	+0,0300	0,0675	0,0375	0,6	-0,2071	0,0660	0,2731
0,8	-0,0057	0,0374	0,0431	0,7	-0,3071	0,0410	0,3481
0,85	-0,0273	0,0248	0,0522	0,8	-0,4071	0,0247	0,4319
0,9	-0,0514	0,0163	0,0677	0,9	-0,5071	0,0160	0,5231
0,95	-0,0780	0,0139	0,0920	1,0	-0,6071	0,0134	0,6205
1,0	-0,1071	0,0134	0,1205	1,0	+0,5357	0,6027	0,0670
1,05	-0,0816	0,0116	0,0932	1,1	+0,4357	0,5054	0,0707
1,1	-0,0586	0,0145	0,0721	1,2	+0,3357	0,4187	0,0830
1,15	-0,0380	0,0198	0,0578	1,3	+0,2357	0,3410	0,1153
1,2	-0,0200	0,0300	0,0500	1,4	+0,1357	0,2742	0,1385
1,3	+0,0086	0,0568	0,0482	1,5	+0,0357	0,2190	0,1833
1,4	+0,0271	0,0736	0,0464	1,6	-0,0643	0,1755	0,2398
1,5	+0,0357	0,0804	0,0446	1,7	-0,1643	0,1435	0,3078

ПРОДОЛЖЕНИЕ ТАБЛ. 15.
ЧЕТЫРЕ ПРОЛЕТА

X/e	ИЗГИБАЮЩИЕ МОМЕНТЫ				X/e	ПОПЕРЕЧНЫЕ СИЛЫ				
	ВЛИЯНИЕ		ВЛИЯНИЕ Р			ВЛИЯНИЕ		ВЛИЯНИЕ Р		
	g	max (+)	min (-)	g		max (+)	min (-)			
1,6	+0,0343	0,0771	0,0429	1,8	-0,2643	0,1222	0,3865			
1,7	+0,0229	0,0639	0,0411	1,9	-0,3643	0,1106	0,4749			
1,8	+0,0014	0,0417	0,0403	2,0	-0,4643	0,1071	0,5714			
1,85	-0,0130	0,0345	0,0475	MНОЖИ ТЕЛЬ	g·l	p·l	p·l			
1,9	-0,0300	0,0310	0,0610					ОПОРНЫЕ РЕАКЦИИ		
1,95	-0,0495	0,0317	0,0812					A _{max} =	0,3929g·l+0,4464p·l	
2,0	-0,0714	0,0357	0,1071					B _{max} =	1,1428g·l+1,2232p·l	
	MНОЖИ ТЕЛЬ	g·l ²	p·l ²					C _{max} =	0,9286g·l+1,1428p·l	

ПЯТЬ ПРОЛЕТОВ

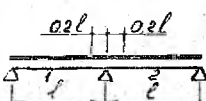
0,1	+0,0345	0,0397	0,0053	0,0	+0,3947	0,4474	0,0526
0,2	+0,0589	0,0695	0,0105	0,1	+0,2947	0,3537	0,0590
0,3	+0,0734	0,0892	0,0158	0,2	+0,1947	0,2126	0,0779
0,4	+0,0779	0,0989	0,0211	0,3	+0,0947	0,2039	0,1091
0,5	+0,0724	0,0987	0,0263	0,4	-0,0053	0,1471	0,1524
0,6	+0,0568	0,0884	0,0316	0,5	-0,1053	0,1073	0,2069
0,7	+0,0313	0,0682	0,0368	0,6	-0,2053	0,0669	0,2122
0,8	-0,0042	0,0381	0,0423	0,7	-0,3053	0,0419	0,3472
0,9	-0,0497	0,0183	0,0680	0,8	-0,4053	0,0257	0,4309

ПРОДОЛЖЕНИЕ ТАБЛ. 15.
Пять пролетов

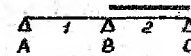
%	ИЗГИБАЮЩИЕ ПОМЕНТЫ			ПОПЕРЕЧНЫЕ СИЛЫ		
	ВЛИЯНИЕ	ВЛИЯНИЕ Р		%	ВЛИЯНИЕ	ВЛИЯНИЕ Р
		g	max (+)		g	max (+)
1,0	-0,1053	0,0144	0,1196	0,9	-0,5053	0,0169
1,1	-0,0576	0,0140	0,0717	1,0	-0,6053	0,0144
1,2	-0,0200	0,0300	0,0500	1,1	+0,5263	0,5981
1,3	+0,0076	0,0563	0,0487	1,1	+0,4263	0,5018
1,4	+0,0253	0,0726	0,0474	1,2	+0,3263	0,4141
1,5	+0,0329	0,0789	0,0461	1,2	+0,3203	0,4141
1,6	+0,0305	0,0753	0,0447	1,3	+0,2263	0,3364
1,7	+0,0182	0,0616	0,0434	1,4	+0,1263	0,2697
1,8	-0,0042	0,0389	0,0432	1,5	+0,0263	0,2146
1,9	-0,0366	0,0280	0,0646	1,6	-0,0737	0,1711
2,0	-0,0799	0,0323	0,1112	1,7	-0,1737	0,1391
2,1	-0,0339	0,0293	0,0633	1,8	-0,2737	0,1179
2,2	+0,0011	0,0416	0,0405	1,9	-0,3737	0,1063
2,3	+0,0261	0,0655	0,0395	2,0	-0,4737	0,1029
2,4	+0,0411	0,0805	0,0395	2,0	+0,5000	0,5907
2,5	+0,0461	0,0855	0,0395	2,1	+0,4000	0,4944
ОПОРНЫЕ РЕАКЦИИ			2,2	+0,3000	0,4063	0,1063
$A_{max} = 0,3947 gl + 0,4474 pl$			2,3	+0,2000	0,3279	0,1279
$B_{max} = 1,1316 \cdot gl + 1,2177 \cdot pl$			2,4	+0,1000	0,2604	0,1604
$C_{max} = 0,9737 gl + 1,1675 pl$			2,5	0	0,2045	0,2045

ТАБЛИЦА 16.

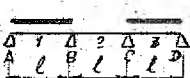
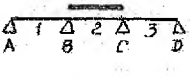
ИЗГИБАЮЩИЕ МОМЕНТЫ, ПОПЕРЕЧНЫЕ СИЛЫ И ОПОРНЫЕ РЕАКЦИИ В
РАВНОПРОЛЕТНЫХ НЕРАЗРЕЗНЫХ БАЛКАХ

СХЕМА РАСПОЛОЖЕНИЯ НАГРУЗКИ	ИЗГИБАЮЩИЕ МОМЕНТЫ, ПЕРЕЗИВАЮЩИЕ СИЛЫ, ОПОРНЫЕ РЕАКЦИИ	СПОСОБ ЗАГРУЖЕНИЯ НАГРУЖЕННЫХ ПРОЛЕТОВ					
		$x=0 \text{ и } a \neq b$	$\downarrow P$	$\downarrow P \uparrow P$	$\downarrow P \quad \uparrow P$	$\downarrow P \uparrow P \downarrow P$	$\downarrow P \uparrow P \uparrow P$
ДВУХПРОЛЕТНАЯ БАЛКА							
	M_{11}	$0,070 P \cdot l^2$	$0,156 P \cdot l$	$0,222 P \cdot l$	$0,180 P \cdot l$	$0,258 P \cdot l$	$0,184 P \cdot l$
	M_{12}	—	—	$0,11 P \cdot l$	$0,039 P \cdot l$	$0,266 P \cdot l$	$0,219 P \cdot l$
	M_{13}	—	—	—	—	$0,023 P \cdot l$	$-0,080 P \cdot l$
	$M_B \text{ (min)}$	$-0,125 P \cdot l^2$	$-0,188 P \cdot l$	$-0,333 P \cdot l$	$-0,281 P \cdot l$	$-0,469 P \cdot l$	$-0,386 P \cdot l$
	$A = Q_{1A}$	$0,375 P \cdot l$	$0,313 P$	$0,667 P$	$0,719 P$	$1,031 P$	$1,101 P$
	$B \text{ (max)}$	$1,250 P \cdot l$	$1,375 P$	$2,667 P$	$2,563 P$	$3,938 P$	$3,792 P$
	$M_{11} \text{ (max)}$	$0,096 P \cdot l^2$	$0,203 P \cdot l$	$0,278 P \cdot l$	$0,215 P \cdot l$	$0,316 P \cdot l$	$0,217 P \cdot l$
	$M_{12} \text{ (max)}$	—	—	$0,222 P \cdot l$	$0,145 P \cdot l$	$0,383 P \cdot l$	$0,318 P \cdot l$
	$M_{13} \text{ (max)}$	—	—	—	—	$0,200 P \cdot l$	$0,085 P \cdot l$
	M_B	$-0,063 P \cdot l^2$	$-0,094 P \cdot l$	$-0,167 P \cdot l$	$-0,141 P \cdot l$	$-0,234 P \cdot l$	$-0,198 P \cdot l$
	$A = Q_{1B} \text{ (max)}$	$0,438 P \cdot l$	$0,406 P$	$0,833 P$	$0,859 P$	$1,266 P$	$1,302 P$

ПРОДОЛЖЕНИЕ ТАБЛ. №6.

СХЕМА РАСПОЛОЖЕНИЯ НАГРУЗКИ.	ИЗГИБАЮЩИЕ МОМЕНТЫ, ПЕРЕЗИВАЮЩ. СИЛЫ, ОПОРНЫЕ РЕАКЦИИ.	СПОСОБ ЗАГРУЖЕНИЯ НАГРУЖЕННЫХ ПРОЛЕТОВ					
		№ 24-051	↓ P	↓ P ↓ P	↓ P ↓ P	↓ P ↓ P ↓ P	↓ P ↓ P ↓ P ↓ P
ДВУХПРОЛЕТНАЯ БАЛКА							
	$M_{11} \text{ (min)}$ $M_{12} \text{ (min)}$ $M_{13} \text{ (min)}$ $A = Q_{1A} \text{ (min)}$	—	-0,047 P ℓ	-0,056 P ℓ	-0,035 P ℓ	-0,059 P ℓ	-0,033 P ℓ
		—	—	-0,111 P ℓ	-0,106 P ℓ	-0,117 P ℓ	-0,099 P ℓ
		—	—	—	—	-0,176 P ℓ	-0,165 P ℓ
		-0,063 P ℓ	-0,094 P	-0,167 P	-0,141 P	-0,234 P	-0,198 P
ТРЕХПРОЛЕТНАЯ БАЛКА							
	M_{11} M_{12} M_{13} M_{21} M_{22} M_3 $A = Q_{1A}$ B Q_{1B} $Q_{2B} = -Q_{2C}$	0,080 P ℓ^2	0,175 P ℓ	0,244 P ℓ	0,194 P ℓ	0,281 P ℓ	0,197 P ℓ
		—	—	0,156 P ℓ	0,081 P ℓ	0,313 P ℓ	0,258 P ℓ
		—	—	—	—	0,094 P ℓ	-0,014 P ℓ
		0,025 P ℓ^2	0,100 P ℓ	0,067 P ℓ	0,025 P ℓ	—	-0,068 P ℓ
		—	—	0,067 P ℓ	0,025 P ℓ	0,125 P ℓ	0,100 P ℓ
		-0,100 P ℓ^2	-0,150 P ℓ	-0,267 P ℓ	-0,225 P ℓ	-0,375 P ℓ	-0,317 P ℓ
		0,400 P ℓ	0,550 P	0,733 P	0,775 P	1,125 P	1,183 P
		1,100 P ℓ	1,150 P	2,267 P	2,225 P	3,375 P	3,317 P
		-0,600 P ℓ	-0,650 P	-1,267 P	-1,225 P	-1,875 P	-1,817 P
		0,500 P ℓ	0,500 P	1,000 P	1,000 P	1,500 P	1,500 P

ПРОДОЛЖЕНИЕ ТАБЛ. 16.

СХЕМА РАСПОЛОЖЕНИЯ НАГРУЗКИ	ИЗГИБАЮЩИЕ МОМЕНТЫ, ПЕРСПЕКТИВНЫЕ СИЛЫ, ОПОРНЫЕ РЕАКЦИИ	СПОСОБ НАГРУЖЕНИЯ НАГРУЖЕННЫХ ПРОЛЕТОВ					
		$t=0.4-0.5\ell$	$\downarrow P$	$\downarrow P \downarrow P$	$\downarrow P \uparrow P$	$\uparrow P \downarrow P$	$\uparrow P \uparrow P \downarrow P$
ТРЕХПРОЛЕТНАЯ БАЛКА							
	$M_{11} (\max)$ $M_{12} (\max)$ $M_{13} (\max)$ $M_{21} (\min)$ $M_{22} (\min)$ M_B $A = Q_{IA} (\max)$	$0,101 P \ell^2$ $-$ $-$ $-0,050 P \ell^2$ $-$ $-0,050 P \ell^2$ $0,450 P \ell$	$0,213 P \ell$ $-$ $-$ $-0,075 P \ell$ $-$ $-0,075 P \ell$ $0,425 P$	$0,289 P \ell$ $0,244 P \ell$ $-$ $-0,133 P \ell$ $-0,133 P \ell$ $-0,133 P \ell$ $0,867 P$	$0,222 P \ell$ $0,166 P \ell$ $-$ $-0,113 P \ell$ $-0,113 P \ell$ $-0,113 P \ell$ $0,888 P$	$0,328 P \ell$ $0,406 P \ell$ $0,234 P \ell$ $-0,188 P \ell$ $-0,188 P \ell$ $-0,188 P \ell$ $1,313 P$	$0,224 P \ell$ $0,338 P \ell$ $0,118 P \ell$ $-0,158 P \ell$ $-0,158 P \ell$ $-0,158 P \ell$ $1,342 P$
	$M_{11} (\max)$ $M_{12} (\min)$ $M_{13} (\min)$ $M_{21} (\max)$ $M_{22} (\max)$ M_B $A = Q_{IA} (\max)$	$-$ $-$ $-$ $0,075 P \ell^2$ $-$ $-0,050 P \ell^2$ $-0,050 P \ell$	$-0,038 P \ell$ $-$ $-$ $0,175 P \ell$ $-$ $-0,075 P \ell$ $-0,075 P$	$-0,044 P \ell$ $0,089 P \ell$ $-$ $0,200 P \ell$ $0,200 P \ell$ $-0,133 P \ell$ $-0,133 P$	$-0,028 P \ell$ $-0,084 P \ell$ $-$ $0,138 P \ell$ $0,138 P \ell$ $-0,113 P \ell$ $-0,113 P$	$-0,047 P \ell$ $-0,094 P \ell$ $-0,141 P \ell$ $0,188 P \ell$ $0,313 P \ell$ $-0,188 P \ell$ $-0,188 P$	$-0,026 P \ell$ $-0,079 P \ell$ $-0,132 P \ell$ $0,092 P \ell$ $0,258 P \ell$ $-0,158 P \ell$ $-0,158 P$

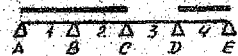
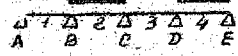
ПРОДОЛЖЕНИЕ ТАБЛ. 16.

СХЕМА РАС- ПОЛОЖЕНИЯ НАГРУЗКИ	ИЗГИБАЮЩИЕ МОМЕНТЫ, ПЕ- РЕЗЫВАЮЩИ- СИЛЫ, ОПОР- НЫЕ РЕАКЦИИ	СПОСОБ ЗАГРУЖЕНИЯ НАГРУЖЕННЫХ ПРОЛЕТОВ	ХРОМ-ОСЕ				
			↓ P	↑ P ↓ P	↑ P ↓ P	↑ P ↑ P	↑ P ↑ P
			$\frac{l}{2} + \frac{l}{2}$	$\frac{l}{3}, \frac{l}{3}, \frac{l}{3}$	$\frac{l}{4}, \frac{l}{2}, \frac{l}{4}$	$\frac{l}{6}, \frac{l}{3}, \frac{l}{3}, \frac{l}{6}$	$\frac{l}{4}, \frac{l}{4}, \frac{l}{4}, \frac{l}{4}$
	M_{11}	$0,077 Pl^2$	$0,170 Pl$	$0,238 Pl$	$0,190 Pl$	$0,275 Pl$	$0,193 Pl$
	M_{12}	—	—	$0,143 Pl$	$0,069 Pl$	$0,299 Pl$	$0,247 Pl$
	M_{13}	—	—	—	—	$0,074 Pl$	$-0,033 Pl$
	M_{21}	$0,037 Pl^2$	$0,116 Pl$	$0,079 Pl$	$0,029 Pl$	$0,007 Pl$	$-0,070 Pl$
	M_{22}	—	—	$0,111 Pl$	$0,069 Pl$	$0,165 Pl$	$0,134 Pl$
	M_{23}	—	—	—	—	$0,074 Pl$	$0,005 Pl$
	M_8	$-0,107 Pl^2$	$-0,161 Pl$	$-0,286 Pl$	$-0,241 Pl$	$-0,402 Pl$	$-0,339 Pl$
	M_6	$-0,071 Pl^2$	$-0,107 Pl$	$-0,190 Pl$	$-0,161 Pl$	$-0,268 Pl$	$-0,226 Pl$
	$A = Q_{1A}$	$0,393 Pl$	$0,339 P$	$0,714 P$	$0,759 P$	$1,098 P$	$1,161 P$
	B	$1,143 Pl$	$1,214 P$	$2,381 P$	$2,321 P$	$3,536 P$	$3,452 P$
	C	$0,923 Pl$	$0,892 P$	$1,810 P$	$1,839 P$	$2,732 P$	$2,774 P$
	Q_{1B}	$-0,607 Pl$	$-0,661 P$	$-1,286 P$	$-1,24 P$	$-1,902 P$	$-1,839 P$
	Q_{2B}	$0,536 Pl$	$0,554 P$	$1,095 P$	$1,080 P$	$1,634 P$	$1,613 P$
	Q_{2C}	$-0,464 Pl$	$-0,446 P$	$-0,905 P$	$-0,920 P$	$-1,366 P$	$-1,387 P$
	$M_{11} (\max)$	$0,100 Pl^2$	$0,210 Pl$	$0,286 Pl$	$0,220 Pl$	$0,325 Pl$	$0,222 Pl$
	$M_{12} (\max)$	—	—	$0,238 Pl$	$0,160 Pl$	$0,400 Pl$	$0,332 Pl$
— 32 —							
			$\overline{A} \quad \overline{B} \quad \overline{2} \quad \overline{3} \quad \overline{D} \quad \overline{4} \quad \overline{E}$				

ПРОДОЛЖЕНИЕ ТАБЛ. 16.

СХЕМА РАС- ПОЛОЖЕНИЯ НАГРУЗКИ	ИЗГИБАЮЩИЕ МОМЕНТЫ, НЕ ПЕРЕЗЫВАЮЩИЕ СИЛЫ, ОПОР- НОЕЕ РЕАКЦИИ	СПОСОБ ЗАГРУЖЕНИЯ НАГРУЖЕННЫХ ПРОЛЕТОВ					
		$\frac{P}{l} = 0.5$	$\frac{P}{l}$	$\frac{P}{l} \frac{P}{l}$	$\frac{P}{l} \frac{P}{l}$	$\frac{P}{l} \frac{P}{l} \frac{P}{l}$	$\frac{P}{l} \frac{P}{l} \frac{P}{l}$
$\begin{array}{c} A \quad 1 \quad \Delta \quad 2 \quad \Delta \quad 3 \quad D \\ \hline B \quad C \end{array}$	$M_B (m_{cl})$ M_B $V (max)$ $Q_{1B} (min)$ $Q_{2B} (max)$	$0,117 P l^2$ $-0,033 P l^2$ $1,200 P$ $0,617 P$ $0,583 P$	$-0,175 P l$ $-0,050 P l$ $1,300 P$ $-0,675 P$ $0,675 P$	$-0,311 P l$ $-0,089 P l$ $2,533 P$ $-1,311 P$ $1,222 P$	$-0,263 P l$ $-0,075 P l$ $2,450 P$ $-1,263 P$ $1,188 P$	$-0,438 P l$ $-0,125 P l$ $3,750 P$ $-1,937 P$ $1,813 P$	$-0,369 P l$ $-0,196 P l$ $3,633 P$ $-1,869 P$ $1,764 P$
$\begin{array}{c} A \quad 1 \quad \Delta \quad 2 \quad \Delta \quad 3 \quad D \\ \hline B \quad C \end{array}$	$M_B (max)$ M_B $Q_{1B} (max)$ $Q_{2B} (min)$	$0,017 P l^2$ $-0,067 P l^2$ $0,017 P l$ $-0,083 P l$	$0,025 P l$ $-0,100 P l$ $0,025 P$ $-0,125 P$	$0,044 P l$ $-0,178 P l$ $0,044 P$ $-0,222 P$	$0,038 P l$ $-0,150 P l$ $0,038 P$ $-0,188 P$	$0,063 P l$ $-0,250 P l$ $0,063 P$ $-0,313 P$	$0,053 P l$ $-0,211 P l$ $0,053 P$ $-0,264 P$
$\begin{array}{c} \Delta \quad 1 \quad \Delta \quad 2 \quad \Delta \quad 3 \quad \Delta \quad 4 \quad E \\ \hline A \quad B \quad C \quad D \quad E \end{array}$	$M_B (min)$ M_C M_D $V (max)$ $Q_{1B} (min)$ $Q_{2B} (max)$	$-0,121 P l^2$ $-0,018 P l^2$ $-0,058 P l^2$ $1,223 P l$ $-0,621 P l$ $0,603 P l$	$-0,181 P l$ $-0,027 P l$ $-0,087 P l$ $1,335 P$ $-0,681 P$ $0,654 P$	$-0,321 P l$ $-0,048 P l$ $-0,155 P l$ $2,595 P$ $-1,321 P$ $1,274 P$	$-0,271 P l$ $-0,040 P l$ $-0,131 P l$ $2,502 P$ $-1,271 P$ $1,231 P$	$-0,452 P l$ $-0,067 P l$ $-0,218 P l$ $3,837 P$ $-1,952 P$ $1,885 P$	$-0,382 P l$ $-0,057 P l$ $-0,184 P l$ $3,707 P$ $-1,882 P$ $1,825 P$

ПРОДОЛЖЕНИЕ ТАБЛ. 16.

СХЕМА РАСПОЛОЖЕНИЯ НАГРУЗКИ	ИЗГИБАЮЩИЕ МОМЕНТЫ, ПЕРЕЗЫВАЮЩИЕ СИЛЫ, ОПОРНЫЕ РЕАКЦИИ	СПОСОБ ЗАГРУЖЕНИЯ НАГРУЖЕННЫХ ПРОЛЕТОВ					
		$x=0,45l$	$\uparrow P$	$\uparrow P \downarrow P$	$\uparrow P \uparrow P$	$\uparrow P \downarrow P \uparrow P$	$\downarrow P \uparrow P \downarrow P$
	$M_{13}(\text{max})$ $M_{21}(\text{min})$ $M_{22}(\text{min})$ $M_{23}(\text{min})$ M_B M_C $A = Q_{1A}(\text{max})$	— — — — $-0,054 Pl^2$ $-0,036 Pl^2$ $0,446 Pl$	— $-0,067 Pl$ $-0,110 Pl$ — $-0,080 Pl$ $-0,054 Pl$ $0,420 P$	— $-0,127 Pl$ $-0,090 Pl$ — $-0,120 Pl$ $-0,080 Pl$ $0,857 P$	— $-0,184 Pl$ $-0,167 Pl$ — $-0,201 Pl$ $-0,134 Pl$ $0,879 P$	$0,224 Pl$ $-0,184 Pl$ $-0,167 Pl$ — $-0,201 Pl$ $-0,134 Pl$ $1,299 P$	$0,109 Pl$ $-0,160 Pl$ $-0,141 Pl$ $-0,123 Pl$ $-0,170 Pl$ $-0,113 Pl$ $1,330 P$
	$M_H(\text{min})$ $M_{12}(\text{min})$ $M_{13}(\text{min})$ $M_{21}(\text{max})$ $M_{22}(\text{max})$ $M_{23}(\text{max})$ M_B M_C $A = Q_{1A}(\text{min})$	— — — $0,080 Pl^2$ — — $-0,054 Pl^2$ $-0,036 Pl^2$ $-0,054 Pl$	— — — $-0,183 Pl$ — — $-0,080 P$	— $-0,048 Pl$ $-0,090 Pl$ $0,206 Pl$ $0,222 Pl$ — $-0,143 Pl$ $-0,095 Pl$ $-0,143 P$	— $-0,030 Pl$ $-0,110 Pl$ $0,145 Pl$ $0,160 Pl$ — $-0,121 Pl$ $-0,080 Pl$ $-0,121 P$	$-0,050 Pl$ $-0,085 Pl$ $-0,151 Pl$ $0,191 Pl$ $0,333 Pl$ $0,224 Pl$ $-0,201 Pl$ $-0,134 Pl$ $-0,201 P$	$-0,028 Pl$ $-0,085 Pl$ $-0,141 Pl$ $0,090 Pl$ $0,275 Pl$ $0,127 Pl$ $-0,170 Pl$ $-0,113 Pl$ $-0,170 P$

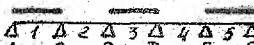
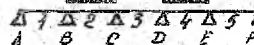
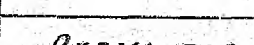
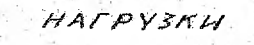
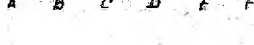
ПРОДОЛЖЕНИЕ ТАБЛ. 16.

СХЕМА РАСПОЛОЖЕНИЯ НАГРУЗКИ	ИЗГИБАЮЩИЕ МОМЕНТЫ, ПЕРЕЗЫВАЮЩИЕ СИЛЫ, ОПОРНЫЕ ФЕАКЦИИ	СПОСОБ ЗАГРУЖЕНИЯ НАГРУЖЕННЫХ ПРОЛЕТОВ						
		ΣP	$\Sigma P \cdot l^0$	$\Sigma P \cdot l^0$	$\Sigma P \cdot l^0$	$\Sigma P \cdot l^0$	$\Sigma P \cdot l^0$	
		$E=0.4-0.5E$						
		$\Delta_1 \Delta_2 \Delta_3 \Delta_4 \Delta$ A B C D E	$\frac{1}{2}l + \frac{1}{2}l$	$\frac{1}{3}l + \frac{1}{3}l + \frac{1}{3}l$	$\frac{1}{4}l + \frac{1}{4}l + \frac{1}{4}l$	$\frac{1}{6}l + \frac{1}{3}l + \frac{1}{3}l$	$\frac{1}{4}l + \frac{1}{4}l + \frac{1}{4}l$	
	M_B (max)	$0,013 \text{ pl}^2$	$0,020 \text{ pl}$	$0,036 \text{ pl}$	$0,030 \text{ pl}$	$0,050 \text{ pl}$	$0,042 \text{ pl}$	
	M_C	$-0,054 \text{ pl}^2$	$-0,080 \text{ pl}$	$-0,143 \text{ pl}$	$-0,123 \text{ pl}$	$-0,201 \text{ pl}$	$-0,170 \text{ pl}$	
	M_D	$0,049 \text{ pl}^2$	$-0,074 \text{ pl}$	$-0,141 \text{ pl}$	$-0,110 \text{ pl}$	$-0,184 \text{ pl}$	$-0,156 \text{ pl}$	
	V (min)	$-0,080 \text{ pl}$	$-0,121 \text{ P}$	$-0,214 \text{ P}$	$-0,181 \text{ pl}$	$-0,301 \text{ P}$	$-0,254 \text{ P}$	
	Q_{1B} (max)	$0,013 \text{ pl}$	$0,020 \text{ P}$	$0,036 \text{ P}$	$0,030 \text{ P}$	$0,050 \text{ P}$	$0,042 \text{ P}$	
	Q_{2B} (min)	$-0,067 \text{ pl}$	$-0,100 \text{ P}$	$-0,118 \text{ P}$	$-0,151 \text{ P}$	$-0,251 \text{ P}$	$-0,212 \text{ P}$	
		$\Delta_1 \Delta_2 \Delta_3 \Delta_4 \Delta_4 \Delta$ A B C D E	$-0,036 \text{ pl}^2$	$-0,054 \text{ pl}$	$-0,095 \text{ pl}$	$-0,080 \text{ pl}$	$-0,134 \text{ pl}$	
	M_B						$-0,113 \text{ pl}$	
	M_C (min)	$0,107 \text{ pl}^2$	$-0,161 \text{ pl}$	$-0,286 \text{ pl}$	$-0,241 \text{ pl}$	$-0,402 \text{ pl}$	$-0,339 \text{ pl}$	
	C (max)	$1,143 \text{ pl}$	$1,214 \text{ P}$	$2,381 \text{ P}$	$2,321 \text{ P}$	$3,536 \text{ P}$	$3,452 \text{ P}$	
	Q_{ecC} (min)	$0,571 \text{ pl}$	$-0,607 \text{ P}$	$-1,191 \text{ P}$	$-1,160 \text{ P}$	$-1,768 \text{ P}$	$1,726 \text{ P}$	
		$\Delta_1 \Delta_2 \Delta_3 \Delta_4 \Delta$ A B C D E	$0,071 \text{ pl}^2$	$-0,101 \text{ pl}$	$-0,190 \text{ pl}$	$-0,161 \text{ pl}$	$-0,268 \text{ pl}$	
	M_B						$-0,226 \text{ pl}$	
	M_C (max)	$0,36 \text{ pl}^2$	$0,054 \text{ pl}$	$0,095 \text{ pl}$	$0,080 \text{ pl}$	$0,134 \text{ pl}$	$0,013 \text{ pl}$	
	C (min)	$-0,214 \text{ pl}$	$-0,321 \text{ P}$	$-0,571 \text{ P}$	$-0,482 \text{ P}$	$-0,804 \text{ P}$	$-0,679 \text{ P}$	
	Q_{ecC} (max)	$0,107 \text{ pl}$	$0,161 \text{ P}$	$0,286 \text{ P}$	$0,241 \text{ P}$	$0,402 \text{ P}$	$0,339 \text{ P}$	
			ПЯТИПРОЛЕТНАЯ БАЛКА					
			M_{11}	$0,078 \text{ pl}^2$	$0,171 \text{ pl}$	$0,240 \text{ pl}$	$0,191 \text{ pl}$	$0,216 \text{ pl}$
			M_{12}	—	—	$0,146 \text{ pl}$	$0,072 \text{ pl}$	$0,303 \text{ pl}$
								$0,250 \text{ pl}$

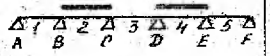
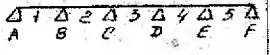
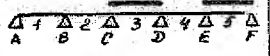
ПРОДОЛЖЕНИЕ ТАБЛ. 16.

СХЕМА РАС- ПОЛОЖЕНИЯ НАГРУЗКИ	ИЗГИВАЮЩИ- Й МОМЕНТЫ, ПЕ- РЕЗЫВАЮЩИЕ СИЛЫ, ОПОР- НЫЕ РЕАКЦИИ	СПОСОБ ЗАГРУЖЕНИЯ НАГРУЖЕННЫХ ПРОЛЕТОВ							
		Х-04-056	P	P P	P P	P P P	P P P	P P P P	
		6	6 ₂ +	6 ₃ 6 ₃ 6 ₃	6 ₄ 6 ₄ 6 ₄	6 ₆ 6 ₃ 6 ₃ 6 ₃	6 ₆ 6 ₃ 6 ₃ 6 ₃	6 ₆ 6 ₃ 6 ₃ 6 ₃	
	M ₁₁	-	-	-	-	0,303 PL	0,250 PL		
	M ₂₁	0,033 PL ²	0,112 PL	0,076 PL	0,028 PL	0,079 PL	-0,028 PL		
	M ₂₂	-	-	0,099 PL	0,058 PL	0,005 PL	-0,069 PL		
	M ₂₃	-	-	-	-	0,155 PL	0,125 PL		
	M ₃₁	0,046 PL ²	0,132 PL	0,123 PL	0,072 PL	0,054 PL	-0,014 PL		
	M ₃₂	-	-	0,123 PL	0,072 PL	0,079 PL	0		
	M _B	-0,105 PL ²	-0,158 PL	-0,281 PL	-0,237 PL	0,204 PL	0,161 PL		
	M _C	-0,079 PL ²	-0,118 PL	-0,211 PL	-0,178 PL	-0,392 PL	-0,333 PL		
	A = Q _{1A}	0,395 PL	0,342 P	0,719 P	0,763 P	0,296 PL	-0,250 PL		
	B	1,132 PL	1,197 P	2,351 P	2,296 P	1,105 P	1,167 P		
	C	0,974 PL	0,960 P	1,930 P	1,941 P	3,494 P	3,417 P		
	Q _{1B}	-0,605 PL	-0,658 P	-1,281 P	-1,2.. P	2,901 P	2,917 P		
	Q _{2B}	0,526 PL	0,540 P	1,070 P	1,059 P	-1,895 P	-1,833 P		
	Q _{2C}	-0,474 PL	-0,460 P	-0,930 P	-0,941 P	1,599 P	-1,471 P		
	Q _{3C}	0,500 PL	0,500 P	1,000 P	1,000 P	1,500 P	1,500 P		

ПРОДОЛЖЕНИЕ ТАБЛ. 16.

СХЕМА РАСПОЛОЖЕНИЯ НАГРУЗКИ	ИЗГИБАЮЩИЕ МОМЕНТЫ, НЕ ПЕРЕЗЫВАЮЩИЕ СИЛОЙ, ОПОРНЫЕ РЕАКЦИИ	$x=0.4 \text{ or } 0.5l$	СПОСОБ ЗАГРУЖЕНИЯ НАГРУЖЕННЫХ ПРОЛЕТОВ						
			1P	1P 1P	1P 1P	1P 1P	1P 1P	1P 1P 1P	
			$\frac{l}{2} + \frac{l}{2}$	$\frac{l}{3} + \frac{l}{3} + \frac{l}{3}$	$\frac{l}{4} + \frac{l}{2} + \frac{l}{4}$	$\frac{l}{6} + \frac{l}{3} + \frac{l}{3}$	$\frac{l}{6} + \frac{l}{4} + \frac{l}{4} + \frac{l}{6}$		
									
									
									
									
									
									
									
									
									
									
<img alt="Diagram of a beam with supports at A, B, C, D, E, F. Span AB has an upward triangular load. Span BC has an upward triangular load. Span									

ПРОДОЛЖЕНИЕ ТАБЛ. 16.

СХЕМА РАБОЧЕГО ПОЛОЖЕНИЯ НАГРУЗКИ	ИЗГИБАЮЩИЕ МОМЕНТЫ, ПЕРЕЗЫВАЮЩИЕ ОПОРЫ, ОПОРНЫЕ РЕАКЦИИ $x=0.4-0.5l$	СПОСОБ ЗАГРУЖЕНИЯ НАГРУЖЕННЫХ ПРОЛЕТОВ						
		↓ P	↓ P ↓ P	↓ P ↓ P	↓ P ↓ P ↓ P	↓ P ↓ P ↓ P	↓ P ↓ P ↓ P	↓ P ↓ P ↓ P
	$M_{31} \text{ (min)}$ $M_{32} \text{ (max)}$ $M_B = -0.053 Pl^2$ $M_C = -0.039 Pl^2$ $A = Q_{1A} \text{ (min)}$	- -	-0.059 Pl -0.105 Pl -0.079 Pl -0.059 Pl -0.053 Pl	-0.105 Pl -0.105 Pl -0.140 Pl -0.105 Pl -0.079 P	-0.089 Pl -0.089 Pl -0.118 Pl -0.089 Pl -0.140 P	-0.148 Pl -0.148 Pl -0.197 Pl -0.148 Pl -0.197 P	-0.125 Pl -0.125 Pl -0.167 Pl -0.125 Pl -0.167 P	
	$M_B \text{ (max)}$ M_C M_D M_E $B \text{ (max)}$ $Q_{1B} \text{ (min)}$ $Q_{2B} \text{ (max)}$	-0.120 Pl^2 -0.022 Pl^2 -0.044 Pl^2 -0.051 Pl^2 1.218 Pl -0.620 Pl 0.598 Pl	-0.179 Pl 0.032 Pl 0.066 Pl 0.077 Pl 1.327 P 0.679 P 0.647 P	-0.319 Pl -0.057 Pl -0.118 Pl -0.137 Pl 2.581 P -1.319 P 4.262 P	-0.269 Pl -0.048 Pl -0.100 Pl -0.116 Pl 2.490 P -1.269 P 1.221 P	-0.449 Pl -0.081 Pl -0.166 Pl -0.193 Pl 3.817 P -1.999 P 1.868 P	-0.379 Pl -0.068 Pl -0.140 Pl -0.163 Pl 3.689 P -1.879 P 1.811 P	
	$M_B \text{ (max)}$ M_C M_D M_E $B \text{ (min)}$	0.014 Pl^2 -0.057 Pl^2 -0.035 Pl^2 -0.054 Pl^2 -0.086 Pl	0.022 Pl -0.086 Pl -0.052 Pl -0.081 Pl -0.129 P	0.038 Pl -0.153 Pl -0.093 Pl -0.144 Pl -0.230 P	0.032 P -0.129 Pl -0.078 Pl -0.121 Pl -0.194 Pl	0.054 Pl -0.215 Pl -0.130 Pl -0.202 Pl -0.323 P	0.045 Pl -0.182 Pl -0.110 Pl -0.170 Pl -0.273 P	

ПРОДОЛЖЕНИЕ ТАБЛ. 46.

СХЕМА РАС- ПОЛОЖЕНИЯ НАГРУЗКИ	ИЗГИБАЮЩИЕ МОМЕНТЫ, ПЕ- РЕГЕЗЫВАЮЩИ- Е СИЛЫ, ОПОР- НЫЕ РЕАКЦИИ	СПОСОБ НАГРУЖЕНИЯ НАГРУЖЕННЫХ ПРОФЛЕТОВ					
		$x=0,4-0,5l$	$\downarrow P$	$\downarrow P \uparrow P$	$\uparrow P \downarrow P$	$\uparrow P \uparrow P \downarrow P$	$\uparrow P \downarrow P \uparrow P$
$\Delta 1 \Delta 2 \Delta 3 \Delta 4 \Delta 5 \Delta$ A B C D E F	M_B M_C (min) M_D M_E C (max) Q_{2e} (min) Q_{3e} (max)		$-0,052 Pl$ $-0,093 Pl$ $-0,078 Pl$ $-0,130 Pl$ $-0,110 Pl$	$0,022 P$ $-0,108 P$ $-0,297 Pl$ $-0,250 Pl$ $-0,417 Pl$	$0,038 P$ $-0,191 P$ $-0,054 Pl$ $-0,046 Pl$ $-0,076 Pl$	$0,032 P$ $-0,161 P$ $-0,146 Pl$ $-0,215 Pl$ $-0,182 Pl$	$0,054 P$ $-0,269 P$ $-3,628 P$ $-1,787 P$ $-1,742 P$
$\Delta 1 \Delta 2 \Delta 3 \Delta 4 \Delta 5 \Delta$ A B C D E F	M_B M_C (max) M_D M_E C (min) Q_{2e} (max) Q_{3e} (min)		$-0,071 Pl^2$ $0,032 Pl^2$ $-0,059 Pl^2$ $0,048 Pl^2$ $-0,194 Pl$ $0,103 Pl$ $-0,091 Pl$	$-0,106 Pl$ $0,048 Pl$ $-0,088 Pl$ $-0,072 Pl$ $-0,291 P$ $0,154 P$ $-0,136 P$	$-0,188 Pl$ $0,086 Pl$ $-1,156 Pl$ $-0,128 Pl$ $-0,517 P$ $0,274 P$ $-0,242 P$	$0,205 Pl$ $0,121 Pl$ $-0,220 Pl$ $-0,179 Pl$ $-0,729 P$ $0,386 P$ $-0,341 P$	$0,159 Pl$ $0,073 Pl$ $-0,132 Pl$ $-0,108 Pl$ $-0,436 P$ $0,232 P$ $-0,205 P$
$\Delta 1 \Delta 2 \Delta 3 \Delta 4 \Delta 5 \Delta$ A B C D E F							$-0,223 Pl$ $0,102 Pl$ $-0,186 Pl$ $-0,152 Pl$ $-0,614 P$ $0,326 P$ $0,288 P$

РАВНОМЕРНО РАСПРЕДЕЛЕННАЯ НАГРУЗКА q_3
ЭКВИВАЛЕНТНАЯ ПО ОПОРНОМУ МОМЕНТУ
РАЗЛИЧНЫМ НАГРУЗКАМ

ТАБЛИЦА. 17.

СХЕМА НАГРУЗОК.	q_3
	$\frac{5}{2} \cdot \frac{P}{l}$
	$\frac{8}{3} \cdot \frac{P}{l}$
	$\frac{15}{4} \cdot \frac{P}{l}$
	$\frac{24}{5} \cdot \frac{P}{l}$
	$\frac{n^2 - 1}{n} \cdot \frac{P}{l}$
	$\frac{9}{4} \cdot \frac{P}{l}$
	$\frac{19}{6} \cdot \frac{P}{l}$

ПРОДОЛЖЕНИЕ ТАБЛ. 17.

СХЕМЫ НАГРУЗОК	q_3
	$\frac{33}{8} \cdot \frac{P}{l}$
	$\frac{2n^2+1}{2n} \cdot \frac{P}{a}$
	$\frac{d(3-d^2)}{2} \cdot P$
	$\frac{11}{16} P$
	$\frac{2(2+B)}{l^2} d^2 P$
	$\frac{11}{27} P$
	$\frac{5}{8} \cdot P$
	$\frac{17}{32} P$
	$\frac{d}{4} \left(3 - \frac{d^2}{2}\right) P$
	$(1-2d^2+d^3) P$ q_{з.л.в.} = 4B(1-B^2) \cdot \frac{P}{l} $q_{з.п.о.} = 4d(1-d^2) \cdot \frac{P}{l}$

**ЗНАЧЕНИЕ КОЭФФИЦИЕНТА γ ДЛЯ ОПРЕДЕЛЕНИЯ
МОМЕНТА СОПРОТИВЛЕНИЯ СЕЧЕНИЯ $W_t = \gamma W_0$**

ХАРАКТЕРИСТИКА СЕЧЕНИЯ	γ	ФОРМА ПОВЕРХНОСТИ СЕЧЕНИЯ	ХАРАКТЕРИСТИКА СЕЧЕНИЯ	γ	ФОРМА ПОВЕРХНОСТИ СЕЧЕНИЯ
1. Прямоугольное....	1.75		5. Двутавровое несимметрическое, удовлетворяющее условию $\frac{b_0}{b} < 3$		
2. Тавровое с полкой расположено в скатной зоне	1.75		а) при $\frac{b_0}{b} < 2$ неудовл. симметрично от отношения $\frac{h_0}{h}$	1.75	
3. Тавровое с полкой (выширением) расположено в растянутой зоне:			б) при $2 < \frac{b_0}{b} < 6$ неудовл. симметрично от отношения $\frac{h_0}{h}$	1.5	
			в) при $\frac{b_0}{b} > 6$ и $\frac{h_0}{h} > 0.2$	1.5	
4. Двутавровое симметрическое (квадратное)			г) при $\frac{b_0}{b} = \frac{h_0}{h} < 2$ неудовл. симметрично от отношения $\frac{h_0}{h}$	1.75	
			д) при $2 < \frac{b_0}{b} = \frac{h_0}{h} < 6$ неудовл. симметрично от отношения $\frac{h_0}{h}$	1.5	
			е) при $6 < \frac{b_0}{b} = \frac{h_0}{h} < 15$ и $\frac{h_0}{h}, \frac{b_0}{b} < 0.2$	1.25	
			ж) при $\frac{b_0}{b} = \frac{h_0}{h} > 15$ и $\frac{h_0}{h}, \frac{b_0}{b} < 0.2$	1.1	
5. Двутавровое несимметрическое удовлетворяющее условию $3 < \frac{b_0}{b} < 8$			з) при $\frac{b_0}{b} > 4$ и $\frac{h_0}{h} > 0.2$	1.5	
			и) при $\frac{b_0}{b} > 4$ и $\frac{h_0}{h} < 0.2$	1.5	
6. Квадратное и круглое	2				
7. Крестовое:			а) при $\frac{b_0}{D} > 2$ и $\frac{D}{h_0} > 0.2$	2	
			в остальных случаях	1.75	

ПРИМЕЧАНИЯ: 1. В ГАРАНТИЯХ b_0 и h_0 соответствуют размерам полки, которая при расчете ее образования трещин является растянутой, а h_0 и b_0 – размерам полки, которая для этого случая расчета является сжатой.

2. W_0 – момент сопротивления для растянутой грани сечения определяемый по правилам сопротивления упругим материалам.

ТАБЛИЦА 19

ПРЕДЕЛЬНО ДОЛУСТИМЫЕ ПРОГИБЫ
ЖЕЛЕЗОБЕТОННЫХ ЭЛЕМЕНТОВ

Наименование элементов	ПРЕДЕЛЬНЫЕ ПРОГИБЫ ВАДАХ ПРОЛЕТА ЭЛЕМЕНТА, %
Подкрановые балки при кранах: ручных электрических	1/500 1/600
Элементы перекрытий с влагоизоляционными потолками и элементы покрытий при пролетах, м: $\ell < 7$ $\ell \geq 7$	— 1/200 1/300
Элементы перекрытий с резиновыми потолками и элементы лестниц при пролетах, м: $\ell < 5$ $5 \leq \ell < 7$ $\ell \geq 7$	1/200 1/300 1/400
Навесные стекловые панели (при расчете из блоков) при пролетах, м: $\ell < 7$ $\ell \geq 7$	1/200 1/300

ТАБЛИЦА 20

ЗНАЧЕНИЯ КОЭФФИЦИЕНТОВ χ_a ДЛЯ РАЧЕТА ПРЕДВАРИТЕЛЬНО НАПРЯЖЕННЫХ ЖЕЛЕЗОБЕТОННЫХ ЭЛЕМЕНТОВ ПОДЕФОРМАЦИЯМ И РАКИРЫТИЮ ТРЕЩИН

ХАРАКТЕР ДЕЙСТВИЯ НАГРУЗКИ	ХАРАКТЕР ПРОФИЛЯ СТЕРЖНЕЙ РА- БОЧЕЙ АРМАТУРЫ	0,3	0,4	0,5	0,6	0,7	0,8	0,9	1,0
КРАТКОВРЕМЕН- НОЕ ДЕЙСТВИЕ	Периодический профиль	0,82	0,72	0,62	0,52	0,43	0,34	0,25	0,20
	Гладкий профиль	0,65	0,76	0,67	0,58	0,50	0,42	0,35	0,30
ДЛЯТЕЛЬНОЕ ДЕЙСТВИЕ	ЛЮБОЙ ПРОФИЛЬ	0,91	0,84	0,77	0,70	0,64	0,59	0,53	0,50

Значения коэффициентов φ и m_{24} для расчета
центрально скатых железобетонных элементов

ТАБЛИЦА 21

ВИДЫ ЭЛЕМЕНТОВ	b/b	4	6	8	10	12	14	16	18	20	22	24	26	28	30	32	34	36	38	40
	b/d	-	-	7	8,5	11,5	12	14	15,5	17	19	21	22,5	24	26	28	29,5	31	33	34,5
	b/r	14	21	28	33	42	48	55	62	69	76	85	90	97	104	111	118	125	132	139
ЖЕЛЕЗОБЕТОННЫЕ ЭЛЕМЕНТЫ ИЗ ГЛАЗУРОВАННОГО БЕТОНА	φ	1	1	1	0,98	0,96	0,93	0,89	0,85	0,81	0,77	0,73	0,66	0,64	0,57	0,56	0,47	0,44	0,4	0,39
	m_{24}	1	1	1	1,30	0,96	0,93	0,89	0,85	0,81	0,76	0,74	0,70	0,67	0,63	0,59	0,55	0,52	0,48	0,45
ЖЕЛЕЗОБЕТОННАЯ ПЛАСТИКА	φ	1	1	1	0,96	0,90	0,84	0,78	0,73	0,67	0,61	0,55	0,51	0,46	0,41	0,36	0,32	0,28	0,24	0,21
	m_{24}	1	1	1	0,96	0,92	0,88	0,84	0,80	0,77	0,73	0,69	0,65	0,61	0,57	0,53	0,49	0,45	0,42	0,38

Пояснения к таблице 22 и рис. 2.

Таблица 22 и рис. 2 содержат данные для построения сгибающей эпюры M в равнопролетных второстепенных балках при расчете их с учетом перераспределения усилий вследствие пластических деформаций.

Изгибающие моменты при различных соотношениях временной и постоянной нагрузок $(\frac{P}{g})$ вычисляются по формуле

$$M = \beta(g + p) \ell_p^2$$

Для вычисления ординат положительных моментов значения β приведены на рис. 2 для пяти точек каждого пролета. Для вычисления ординат отрицательных моментов значения коэффициентов β даны в таблице 22.

Пояснения к таблице 23.

Исходя из условия, что в статически неопределенной балке полусумма эпорных моментов плюс момент в средине пролета равны балочному моменту $(g + p)\ell_p^2$.

Таблица 23 дает возможность для неразрезных балок, загруженных равномерно распределенной нагрузкой решать следующие задачи:

1. При заданных опорных моментах (один из них может быть равен нулю) найти момент в средине пролета.
2. При заданном пролетном моменте найти оба опорных.

При шарнирном опирании слева или справа значение $M_{4\text{сп}}$ или $M_{4\text{сл}}$ в таблице следует принимать равным ∞ .

ТАБЛИЦА 22

ЗНАЧЕНИЯ КОЭФФИЦИЕНТА β ДЛЯ ОПРЕДЕЛЕНИЯ ОРДИНАТ ОТРИЦАТЕЛЬНЫХ МОМЕНТОВ $M = \beta(g + p)t^2 \cdot \sqrt{q}t^2$

p/g	# ТОЧКИ										
	5	6	7	8	9	10	11	12	13	14	15
0,5	-0,091	-0,025	+0,011	-0,016	-0,008	-0,0625	-0,003	+0,028	-0,028	-0,003	-0,0625
1,0	-0,091	-0,035	-0,005	+0,001	-0,018	-0,0625	-0,013	+0,013	+0,015	-0,015	-0,0625
1,5	-0,091	-0,041	-0,014	-0,008	-0,024	-0,0625	-0,019	+0,004	+0,004	-0,019	-0,0625
2,0	-0,091	-0,045	-0,020	-0,014	-0,028	-0,0625	-0,023	-0,003	-0,005	-0,023	-0,0625
2,5	-0,091	-0,048	-0,023	-0,017	-0,031	-0,0625	-0,025	-0,006	-0,006	-0,025	-0,0625
3,0	-0,091	-0,050	-0,027	-0,022	-0,035	-0,0625	-0,028	-0,010	-0,010	-0,028	-0,0625
3,5	-0,091	-0,052	-0,030	-0,025	-0,035	-0,0625	-0,029	-0,013	-0,015	-0,029	-0,0625
4,0	-0,091	-0,053	-0,032	-0,026	-0,036	-0,0625	-0,050	-0,015	-0,015	-0,050	-0,0625
4,5	-0,091	-0,054	-0,033	-0,028	-0,037	-0,0625	-0,052	-0,016	-0,016	-0,036	-0,0625
5,0	-0,091	-0,055	-0,035	-0,029	-0,038	-0,0625	-0,053	-0,018	-0,018	-0,033	-0,0625

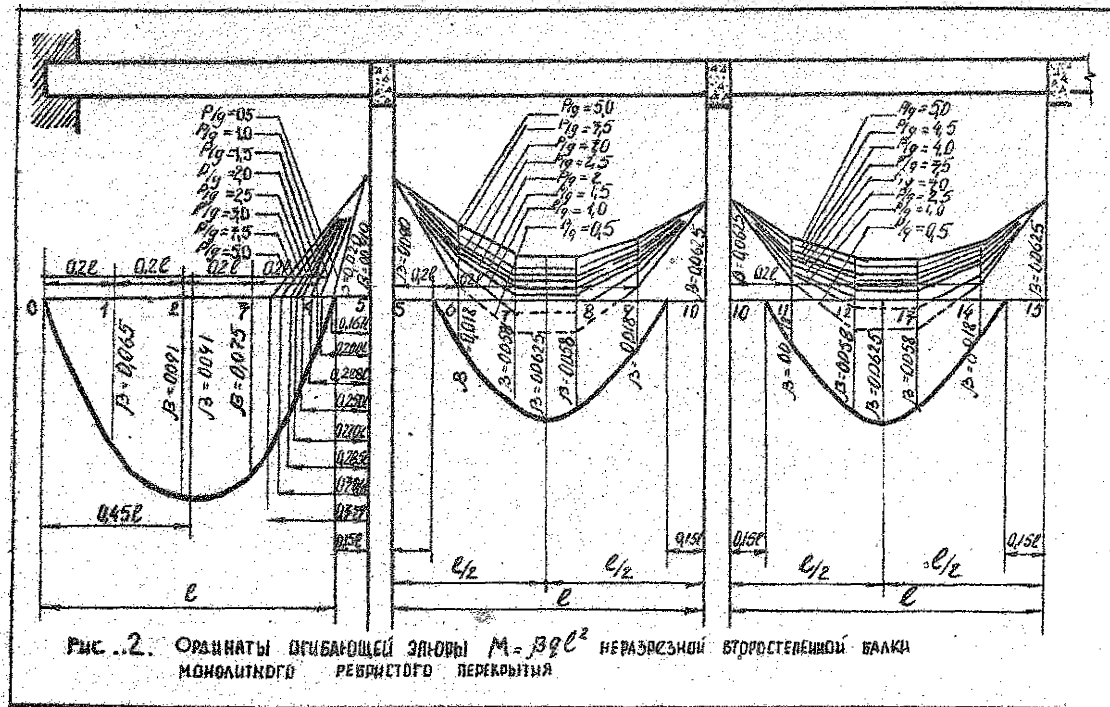


Рис. 2. Ординаты изгибающей эпюры $M = 3g l^2$ неразрезной балки с монолитным ребристым перекрытием

ТАБЛИЦА 23.

Коэффициенты π_x для максимальных пролетных моментов в неразрезных пантах и балках, загруженных равнотройной нагрузкой при заданных опорных моментах.



Нор	ПЛАН															...		
	8	9	10	11	12	13	14	15	16	17	18	19	20	21	22	23	24	
00	14,2	13,0	12,5	11,9	11,5	11,2	11,0	10,7	10,4	10,3	10,1	10,0	9,9	9,8	9,7	9,6	9,5	8,0
24	22,2	19,6	18,0	17,0	15,8	15,1	14,6	14,1	13,7	13,3	13,1	12,9	12,6	12,5	12,3	12,1	12,0	9,5
23	22,3	20,0	18,2	17,1	16,1	15,3	14,8	14,3	13,9	13,5	13,2	13,1	12,8	12,6	12,4	12,2	12,1	9,6
22	23,2	20,6	18,5	17,2	16,3	15,6	14,9	14,5	14,0	13,7	13,4	13,2	13,0	12,9	12,6	12,4	12,3	9,7
21	23,8	21,0	19,3	17,7	16,6	15,9	15,2	14,7	14,3	13,9	13,6	13,3	13,1	12,9	12,9	12,6	12,5	9,8
20	21,5	19,6	18,2	17,0	16,2	15,5	15,0	14,6	14,3	13,9	13,5	13,1	12,9	12,7	12,6	12,5	12,4	9,9
29	22,6	20,1	18,4	17,3	16,8	16,0	15,3	14,8	14,4	14,1	13,8	13,5	13,1	13,2	13,1	12,9	10,0	
19	23,3	20,6	18,2	17,8	17,0	16,2	15,6	15,1	14,8	14,4	14,1	13,9	13,6	13,4	13,2	13,1	13,1	
17	24,0	21,6	19,8	18,5	17,5	16,8	16,1	15,5	15,1	14,8	14,4	14,1	13,9	13,7	13,5	13,3	13,3	
16		22,5	20,0	19,1	18,2	17,3	16,5	15,8	15,0	14,4	14,0	13,6	13,2	12,9	12,7	12,5	10,1	
15		23,8	21,7	20,0	18,0	17,1	16,5	16,1	15,8	15,3	15,0	14,7	14,5	14,3	14,0	13,7	10,1	
14			22,2	21,5	19,6	18,1	16,0	17,3	16,8	16,2	16,0	15,5	15,2	14,9	14,7	14,6	11,0	
13			23,4	22,2	20,8	19,6	18,1	18,2	17,5	17,0	16,6	16,2	15,9	15,6	15,3	15,1	11,2	
12				21,0	22,2	21,5	20,0	19,1	18,5	17,8	17,3	17,0	16,6	16,3	16,1	15,0	11,5	
11					23,4	22,2	21,7	20,6	19,2	18,7	18,2	17,7	17,2	16,1	15,0	14,3	11,3	
10						23,8	22,6	21,6	20,6	20,1	19,6	18,9	18,5	18,2	18,0	17,5	12,5	
9							24,0	23,3	22,0	21,7	21,0	20,6	20,0	19,7	19,0	18,8	13,0	
8								24,0	23,3	22,0	21,7	21,0	20,6	20,0	19,7	19,0	14,2	

Спецификация арматуры

Приложение 23

Расход арматуры и бетона

Приложение 24

Приложение 25

Некоторые типы полов и их вес

1) Пол из керамических плит по шлакобетону:

а) керамические плитки 2 см ($\gamma=2,57/m^3$)	50 кг/м ²
б) цементная стяжка 2 см ($\gamma=2,27/m^3$)	52 "
в) шлакобетон (метал-звукозаизоляция) 10 см	120 "
г) затирка снизу 1 см ($\gamma=2,27/m^3$)	22 "

Всего: 235 кг/м²

2) Чистый цементный пол по железобетонной пите:

а) цементный слой 3 см ($\gamma=2,27/m^3$)	66 кг/м ²
--	----------------------

3) Чистый цементный пол по шлакобетону:

а) цементный слой 3 см	66 кг/м ²
б) шлакобетон 8 м	96 кг/м ²

Всего: 162 кг/м²

4) деревянные шашки по асфальту:

а) деревянные шашки 22 см ($\delta=0,67/m^3$)	66 кг/м ²
б) асфальт 3 см ($\delta=2,27/m^3$)	66 "

Всего: 132 кг/м²

5) Асфальтовый пол по железобетонной пите:

а) асфальт 3 см	66 кг/м ²
-----------------	----------------------

ТАБЛИЦА

ЗНАЧЕНИЯ КОЭФФИЦИЕНТОВ Ψ_d ДЛЯ РАСЧЕТА
ПРЕДВАРИТЕЛЬНО НАПРЯЖЕННЫХ ЖЕЛЕЗОБЕТОННЫХ ЭЛЕМЕНТОВ
ПО ДЕФОРМАЦИЯМ И РАСКРЫТИЮ ТРЕЩИН

ХАРАКТЕР ДЕЙСТВИЯ НАГРУЗКИ	ХАРАКТЕР ПРОФИЛЯ, СТЕРЖНЕЙ РА- БОЧЕЙ АРМАТУРЫ	0,3	0,4	0,5	0,6	0,7	0,8	0,9	1,0
КРАТКОВРЕ- МЕННОЕ ДЕЙСТВИЕ	ПЕРИОДИЧ. ПРОФИЛЬ	0,88	0,72	0,62	0,52	0,43	0,34	0,26	0,20
	ГЛАДКИЙ ПРОФИЛЬ	0,65	0,76	0,67	0,58	0,50	0,42	0,35	0,30
ДЛЯТЕЛЬНОЕ ДЕЙСТВИЕ	ЛЮБОЙ ПРОФИЛЬ	0,91	0,84	0,77	0,70	0,64	0,59	0,53	0,50

ТАБЛИЦА

КОЭФФИЦИЕНТ ЛИНЕЙНОГО РАСШИРЕНИЯ α
СТЕРЖНЕЙ И ПРОВОЛОЧНОЙ АРМАТУРЫ

ТЕМПЕРА- ТУРНЫЙ ИНТЕРВАЛ $^{\circ}\text{C}$	$\alpha \cdot 10^6 / \text{с}$					
	СТЕРЖНЕВАЯ АРМАТУРА ПЕРИОДИЧЕСКОГО ПРОФИЛЯ		ПРОВОЛОЧНАЯ АРМАТУРА			
	A - IV	A - III B	Круглая чугун- ная и сталь- ная проволо- чка, отож- женная	Берилличе- ский профиль	Бронзовая проволока	Проволочное стекло
20 - 100	12,0	15,4	11,7	16,6	19,6	
20 - 200	12,6	12,2	11,7	13,0	13,0	
20 - 300	13,2	12,7	12,4	13,0	14,4	
20 - 400	13,8	13,2	12,7	13,8	15,3	
20 - 500	-	-	12,8	14,5	18,1	